

DIMENSIONERING AV DIGITAL REGULATOR FÖR  
REGLERING AV UTLOPPSAREAN TILL  
TURBOJETMOTOR

BO ELIASSON

RE-176 Maj 1976  
Inst. för Reglerteknik  
Lunds Tekniska Högskola

DIMENSIONERING AV DIGITAL REGULATOR FÖR REGLERING AV  
UTLOPPSAREAN TILL TURBOJETMOTOR

Examensarbete utfört sommaren och hösten 1975 vid  
Volvo Flygmotor och Institutionen för Reglerteknik, LTH.

Bo Eliasson

Handledare: Gerry Örnberg, VFA  
Björn Wittenmark, LTH

## SAMMANFATTNING

Denna rapport utgör dokumentation av resultat vid simulering och några olika principer vid digital reglering.

I rapporten redovisas en matematisk modell av utloppsarearegleringen på en turbojetmotor.

Vid simuleringen har tonvikten lagts på regulatorernas känslighet mot parametervariationer i systemet, samt styrsignalernas storlek och utsignalens beteende vid olika regleringar.

Slutligen redovisas programmering av modell och regulatorer i programspråket FORTRAN.

Indata för några olika regleringar har också angivits.

## ABSTRACT

This report provides results of simulations and a few different methods of designing controllers for sampled data systems.

In the report a mathematical model of the exhaust nozzle control of a turbofan engine is shown. During the simulations great attention has been paid to the sensitivity of the regulators against variations of the parameters in the system, and the behaviour of control signal and output signal for different types of controllers. The programs of the model and the controllers in FORTRAN are also given. Input-data for a few different controllers are shown.

## INNEHÅLLSFÖRTECKNING

SID

Kap	1.	<u>BESKRIVNING AV REGLERSYSTEM FÖR TURBOJETMOTOR</u>	1
	1.1	INLEDNING	1
	1.2	NUVARANDE HYDROMEKANISKA REGLERSYSTEM	2
	2.	<u>PROBLEMFÖRMULERING</u>	10
	2.1	MATEMATISK MODELL	10
	2.2	ANALYS AV OKOMPENSERADE OCH KOMPENSERADE SYSTEMETS REGLEREGENSKAPER	15
	2.3	SPECIFIKATIONER PÅ DET NYA REGLERSYSTEMET	19
	3.	<u>DIMENSIONERING AV DIGITAL REGULATOR FÖR AREAREGLERING</u>	20
	3.1	DIMENSIONERING AV FASAVANCERADE NÄT	20
	3.2	FRAMKOPPLING KOMBINERAT MED ÅTERKOPPLING	39
	3.3	POLPLACERING GENOM DIREKT ÅTERKOPPLING	54
	4.	<u>SAMMANFATTNING</u>	62
	5.	<u>REFERENSER</u>	63

## BILAGOR

## 1. BESKRIVNING AV REGLERSYSTEM FÖR TURBO-JETMOTOR.

### 1.1 INLEDNING

Examensarbetet har i första hand inriktats på konstruktion och testning av olika regulatorer till den matematiska modellen av areaservot.

Samtliga regulatorer i rapporten, som i praktiken kan anses komma att användas, har simulerats såväl kontinuerligt som digitalt på grund av kravet på så rippelfri utsignal som möjligt. Vidare har stor vikt lagts på regulatorernas uppförande vid variation i den matematiska modellens parametrar. Dessutom har styrsignalernas storlek till servot kontra snabbhet och förstärkning särskilt studerats.

I kap 4, jämföres de olika resultaten och lämplig reglering anges.

Kap 5 innehåller referenser och slutligen ges ett appendix, innehållande programbeskrivning och programmering av servo och regulatorer. Olika modeller och regulatorer kan väljas som indata.

I ett pågående forskningsprogram vid Volvo Flygmotor studeras alternativa reglermetoder för nästa generation av avancerade turbojetmotorer. Arbetet är för närvarande inriktat på studium av efterbrännkammarens (EBK) reglering. Regleringen har primärt två uppgifter, dels att reglera bränsletillförseln, dels att reglera trycket i ebk:n med hjälp av utloppsarean.

En förutsättning för användning av ebk:n är att dess funktion ej stör grundmotorn. Av detta skäl regleras i dag tryckförhållandet över turbinerna till önskat värde med hjälp av utloppsarean.

Examensarbetet omfattar en jämförelse av olika reglermetoders användbarhet för reglering av utloppsarean, samt konstruktion av olika regulatorer.

Utvärdering av de olika metoderna och regulator typerna ska göras på en digital motormodell, en s k dynamisk simulator, vilken simulerar motorn med tillhörande reglersystem.

Arearegleringsdelen i ebk-regulatorn har därvid anpassats till en digital elektronisk reglering, med den nya hårdvara som förväntas i ett framtida system.

## 1.2 NUVARANDE HYDROMEKANISKA REGLERSYSTEM

Införda beteckningar och storheter för ebk- och gasgeneratorreglering se fig 1.2.1 resp fig 1.2.2 på efterföljande sidor. Gasgeneratorns regulator har till uppgift att skydda motorn från otillåtna drifttillstånd, samt att ge den bästa verkningsgraden vid såväl transienter som stationära driftpunkter.

Enl fig 1.2.2 korrigeras pilotens begärda varvtal (dragkraft) med inloppstemp och inloppstryck. Varvtalsdifferensen omvandlas till ett bränsle/lufttal (B/PB). Multiplikation med brännkamartrycket PB ger sedan det önskade bränsleflödet.

Tt2: Inloppstemperatur  
Pt2: Inloppstryck  
Pt7: Tryck  
PB: Brännkamartryck  
MLT: Lågtryck  
HHT: Högtryck  
B: Bränsleflöde  
BL: Bränsleflöde  
A10: Utloppsareal

PRINCIPSCHEMA ÖVER GASGENERATORN OCH EFTERBRÄNNKAMMAREN (EBK),  
SAMT VIKTIGA STORHETS BETECKNINGAR.

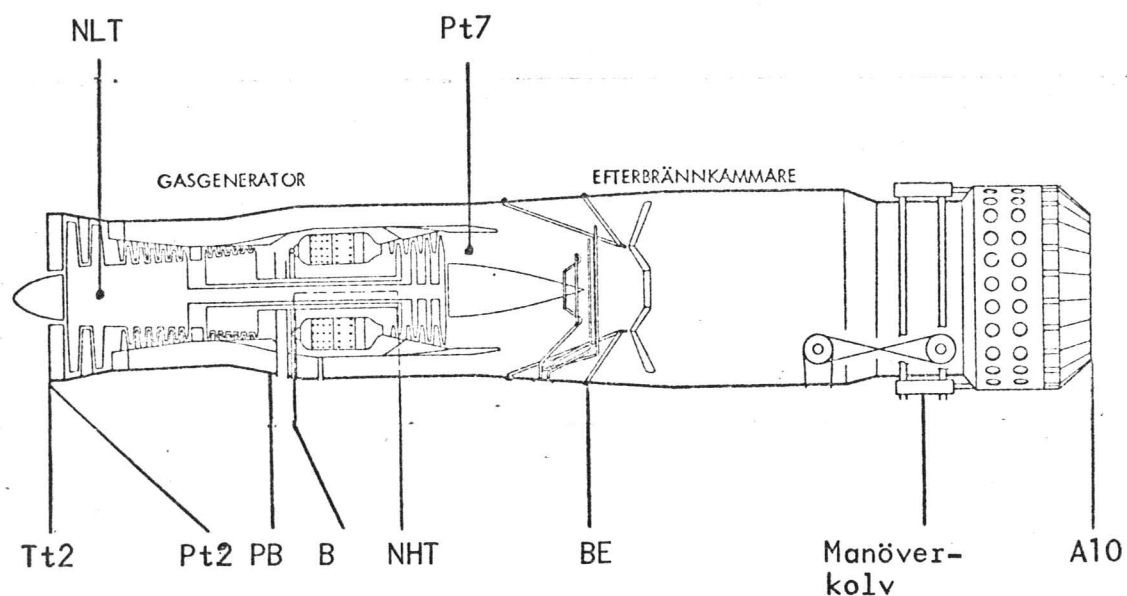
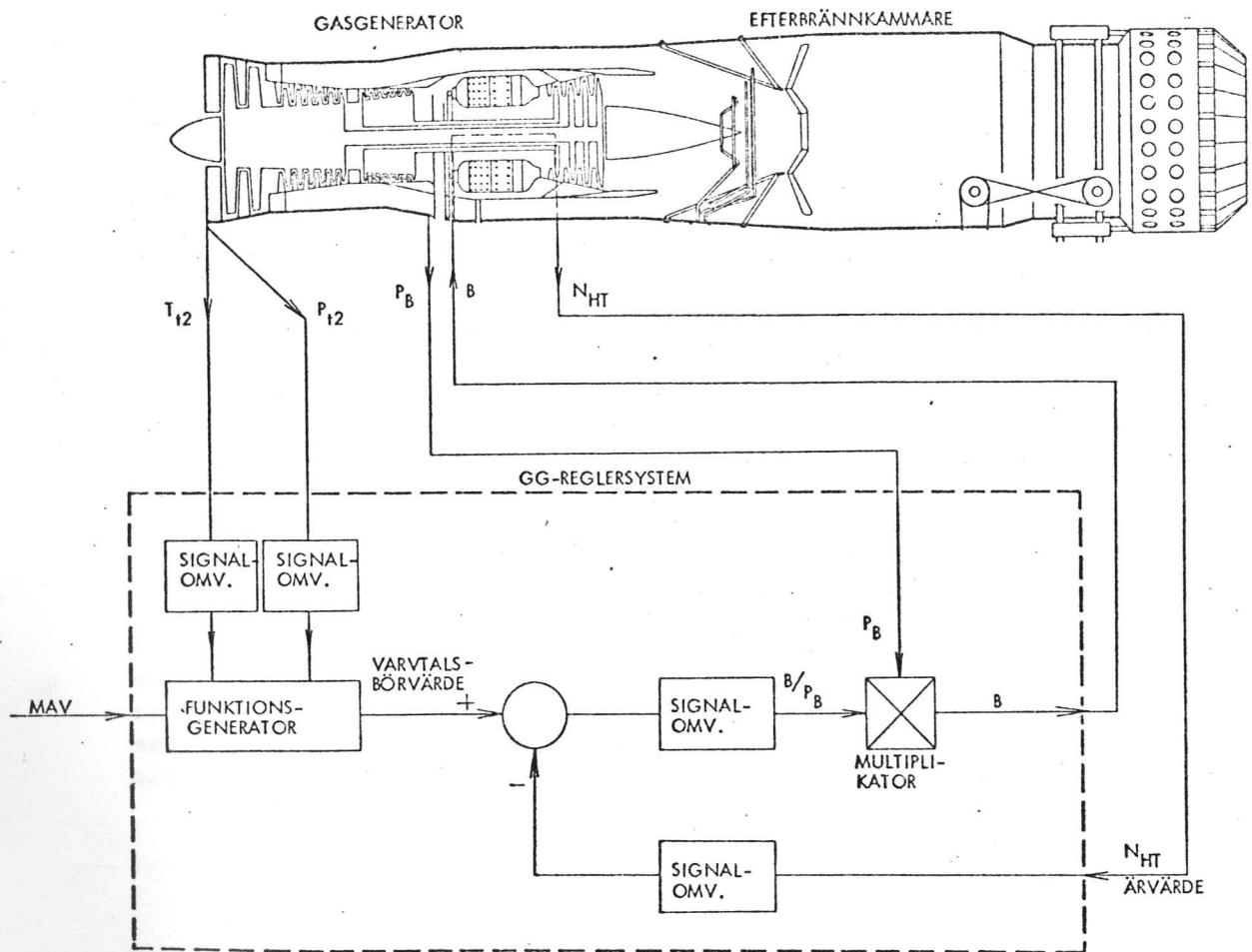


Fig 1.2.1

- Tt2: Inloppstemperatur
- Pt2: Inloppstryck
- Pt7: Tryck efter turbinen
- PB: Brännkamartryck
- NLT: Lågtrycksrotorns varvtal
- NHT: Högtrycksrotorns varvtal
- B: Bränsleflöde till gasgeneratorn
- BE: Bränsleflöde till ebk:n
- A10: Utloppsarean



## GASGENERATORNS REGLERING



### Ebk-reglering (se fig 1.2.3)

Ebk-regleringen har två huvuduppgifter.

- 1) Reglera bränsletillföreln så att den av föraren begärda dragkraften erhålles.
- 2) Reglera trycket i ebk:n så att huvudmotorn ej störs.

Bränsleflödet till ebk:ns olika zoner ( 3 st) korrigeras med hänsyn till inloppstemp och brännkammарtryck (funk-gen). Den korrigerade utsignalen från funk-gen ger lämpligt bränslelufttal (BE/PB). Multiplikation med brännkammарtrycket (PB) ger motsvarande bränsleflöde.

Arearegleringen har till uppgift att hålla gasgeneratoren på en lämplig driftpunkt vid olika flygfall och yttre förhållanden. Upptändning och eldning i ebk:n skall således påverka gasgeneratoren så lite som möjligt.

På grund av motorns konstruktion (dubbelströmsmotor) är den särskilt känslig för tryckstörningar i ebk:n. Fläktens tryckuppsättning kan då bli så ogynnsam att pumpning sker, eller att fläktens varvtal blir för högt. Av dessa skäl regleras tryckförhållandet ( $\pi_t = PB/Pt7$ ) över turbinerna enligt en i gasgenerators regulator bildad referensfunktion ( $\pi_{TREF}$ ). Skillnaden i tryckförhållande  $\Delta\pi_T = \pi_T - \pi_{TREF}$  användes som reglerparameter och ger via en PI-regulator ett areabehov, som summeras till det areabehov eldningen kräver. Jämförelse göres med verklig area och skillnaden styr ut areaservot så att korrekt area erhålles.

$\pi_T = \dots$

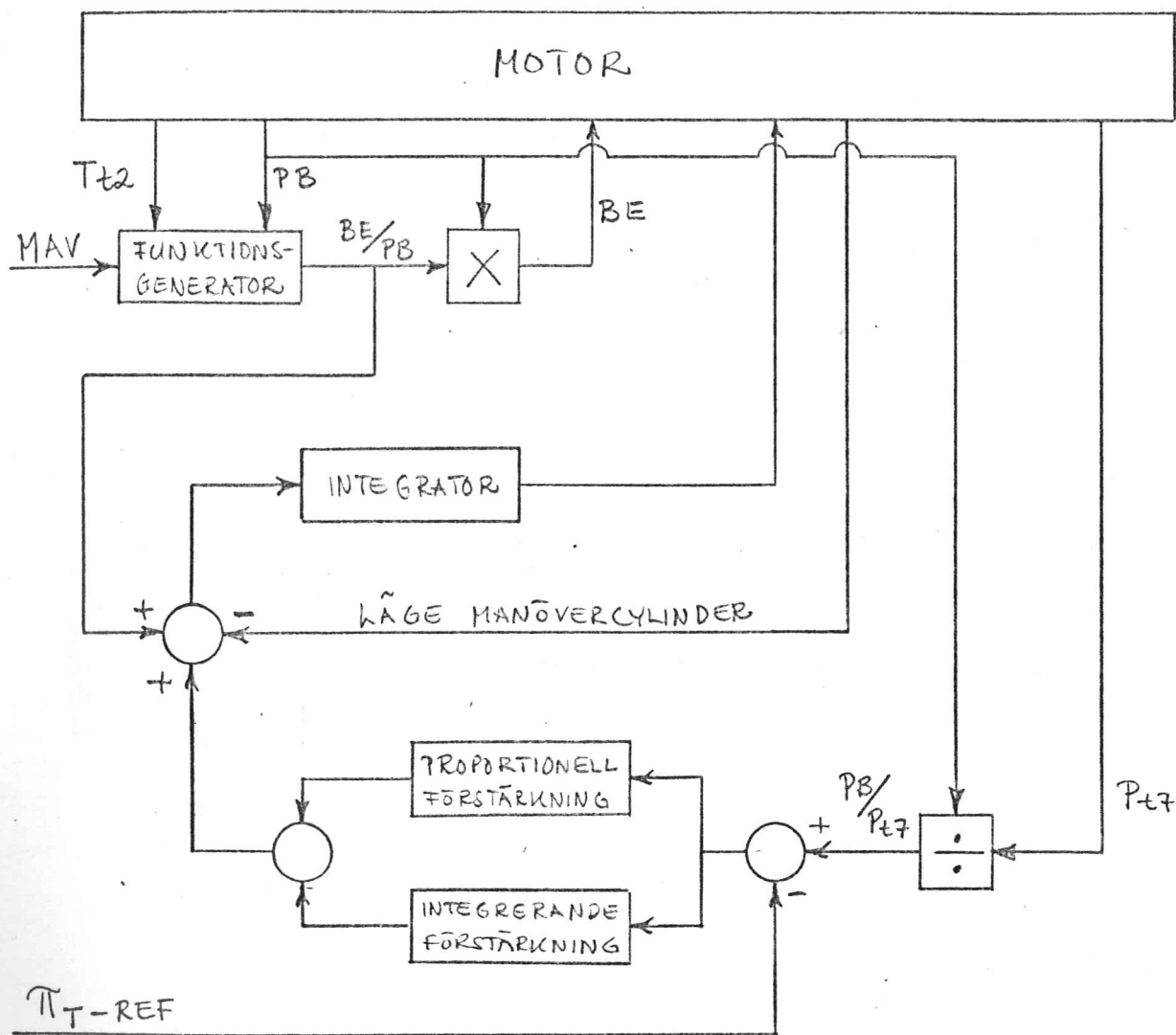


Fig 1.2.3

Efterbrännkammarens reglering

## Beskrivning av det hydromekaniska ebk-reglersystemet i simulatorn

I fig 1.2.4 ovanför den streckade linjen är den nuvarande hydr.-mek arearegleringen schematiskt återgiven. Areabehovet från  $\pi_T$ -regl har till uppgift att fintrimma arean kring ett visst jämviktsläge, ty grundmotorn skall störas så lite som möjligt.

Under den streckade linjen är de funktioner som reglerar bränslet till de olika zonerna (3 st) i ebk:n utritade. Tillhörande upptändnings- och avstängningslogik för ebk:n finns även utritad. På grund av eldning i ebk:n erhålles från denna del en signal ( $\varphi$ ), som är ett mått på areabehovet.  $\varphi$ -signalen finns längst till vänster (se fig 1.2.4)

Den del av ebk-regleringen som finns ovanför den streckade linjen har omarbetats för att passa den digitala elektroniska regleringen (se fig 1.2.5) med det nya areaservot. Fig 1.2.5 utgör ett principschema över den digitala arearegleringen.

Schemat visar reglering av arean utgående från en  $\pi_T$ -referens. Som tidigare har nämnts kommer även andra reglermetoder att utvärderas. Exempelvis kan arean regleras med utgångspunkt från fläktens tryckförhållande ( $\pi_{gg} = P_{t7}/P_{t2}$ ).

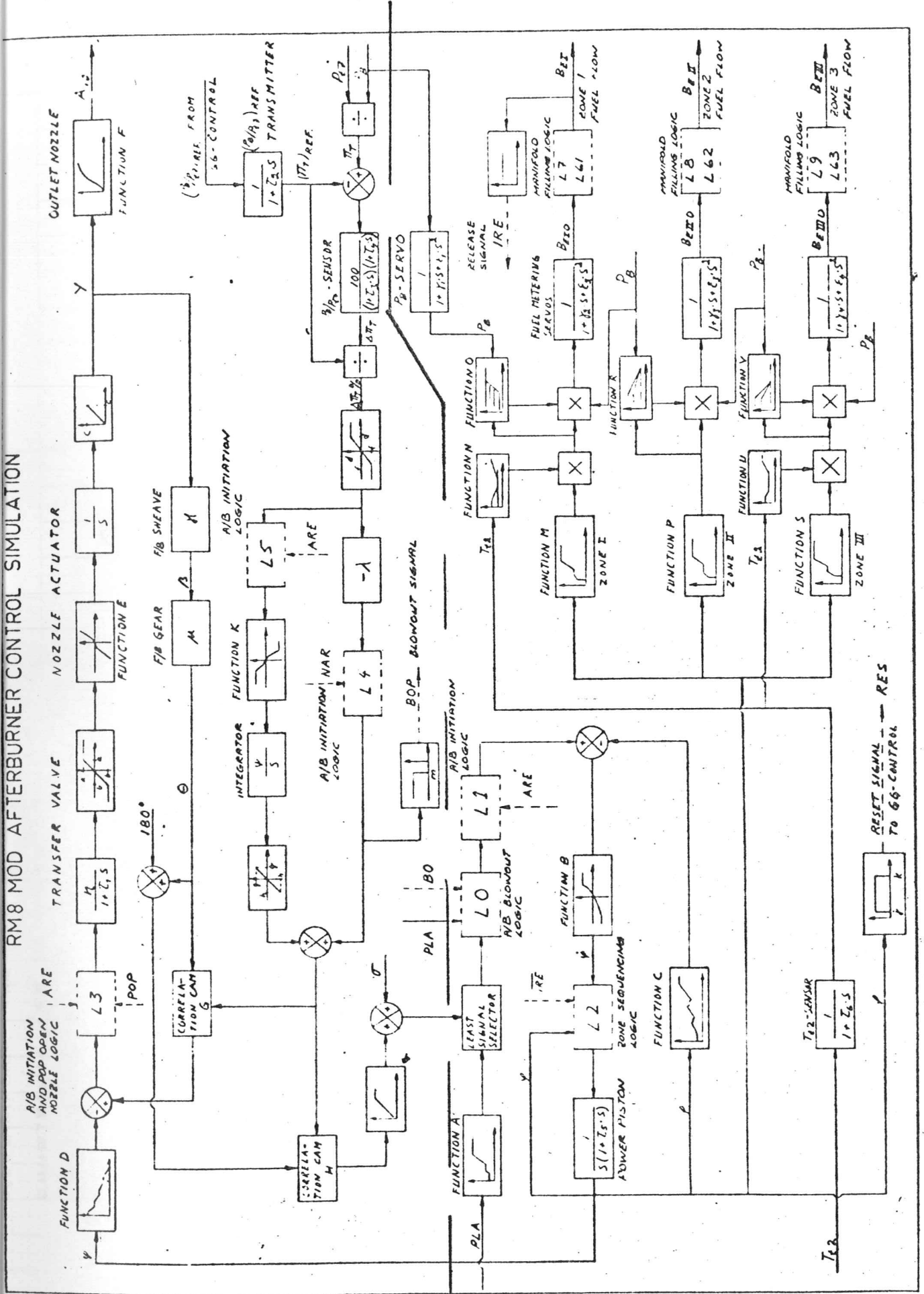


Fig 1.2.4

Principschema över nuvarande reglersystem.

FÖRKÄRLNINGAR I ILL DE ÖVRIGA  
 ENHETERNA, SE MOTSVARANDE  
 SIFFROR I SPECI-DELEN.

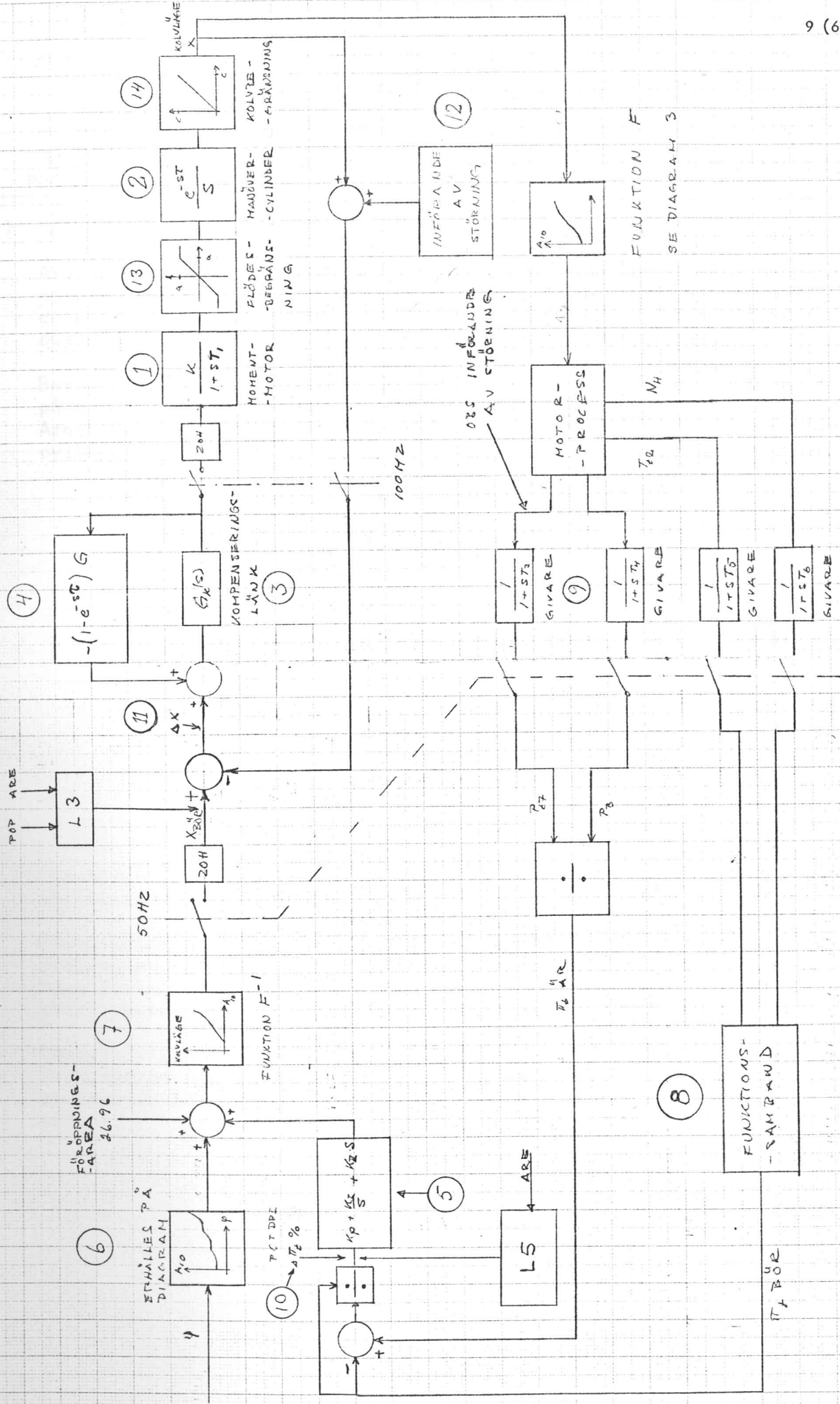


Fig 1.2.5

## 2. PROBLEMFÖRMULERING

### 2.1 MATEMATISK MODELL (se fig 1.2.5)

Areaservoöppens verkställande organ är en momentmotor samt fyra manövercylindrar, vilka ställer om arean. Area-loopen slutes över datorn, vars samplingsfrekvens är 100 Hz. Den yttre loopen slutes över motorn och datorn. Samplingsfrekvensen är här 50 Hz.

Beroende på olika reglermetoder kommer olika parametrar att mätas på motorprocessen. Denna driftpunktsreglering sker med en PID-regulator. Areabehovssignalen beräknas i datorn och omvandlas till motsvarande cylinderläge, vilket utställs på areaservot med en frekvens av 50 Hz.

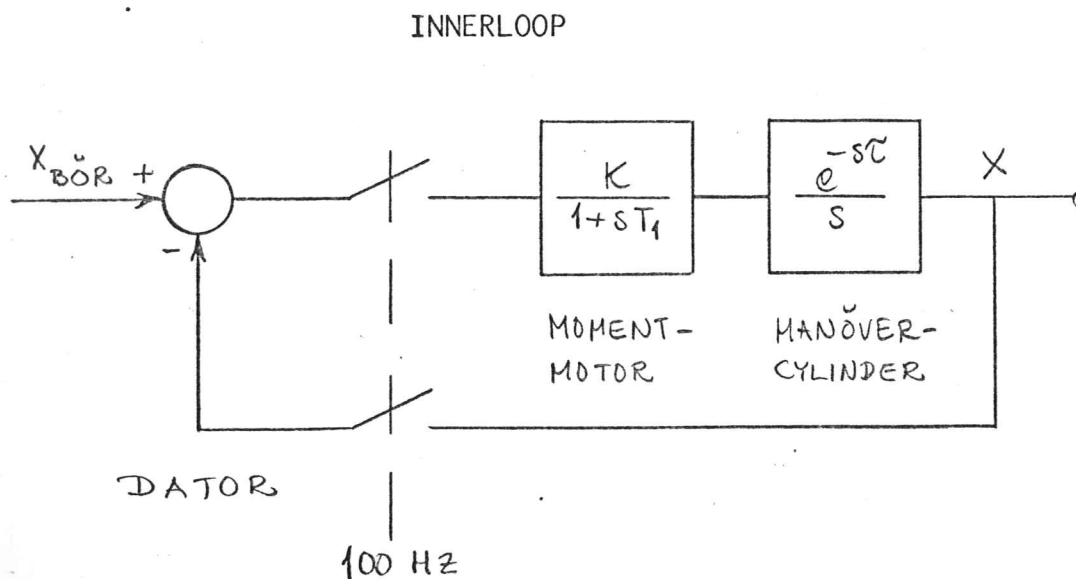


Fig 2.1.1.

Y Laplacetransform av momentmotorns och kolvens överföringsfunktion.

reglerin-  
driftlin-  
Arärbörva-  
bränsle-  
på arärbör-

Förstärkningen  $K$  är produkten av momentmotorns och manöverkolvens förstärkning.

Momentmotorns överföringsfunktion har approximerats med en första ordningens funktion. Detta är i vårt fall en lämplig approx, ty enligt Moog Technical Bulletin 103 gäller denna upp till omkr 50 Hz. Max skärfrekvens för de olika regulatorfallen är omkr 10 Hz.

Manövercyllindern representeras av en integrator. På grund av de långa ledningarna från pump till kolv, vilofriktion och acceleration av areamassor har en tidsfördröjning ( $\tau$ ) införts  $\tau = 2T$  ( $T$  är samplings-tiden).



## YTTERLOOP

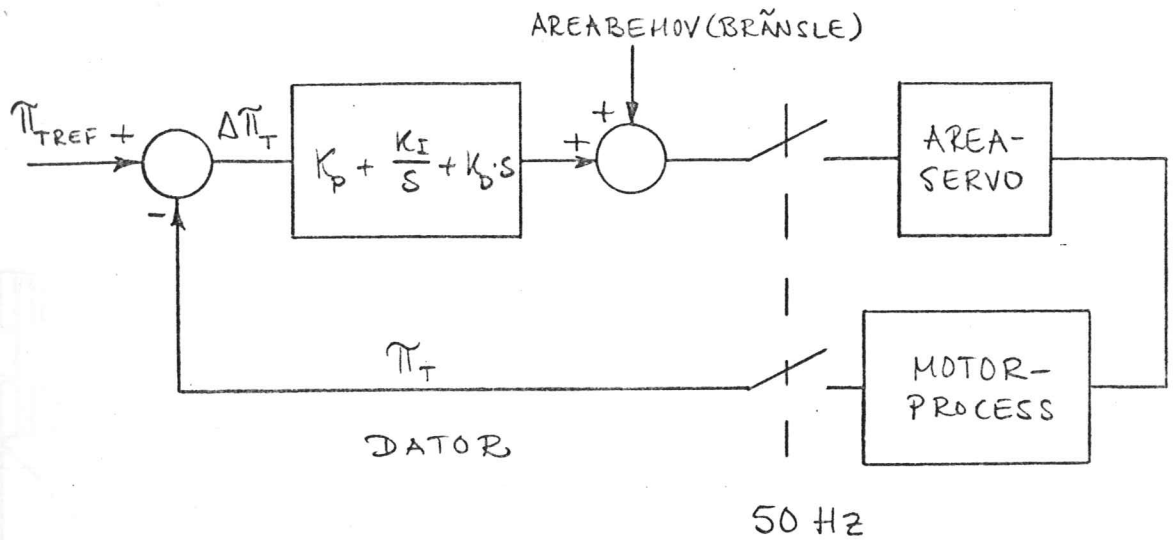


Fig 2.1.2

Ytterloopen är ritad för  $\pi_t$ -reglering, men kan modifieras för reglering av arean med hjälp av andra motorparametrar. Motorns driftlinje regleras med en PID-reg.  $\pi_t$ -ref bildas ur NHT och Tt2. Areabörvärdet består av två signaler,  $t$  en från  $\pi_t$ -regl och en från bränslemängden, som tillföres ebk:n. Dessa båda  $t$  signaler uppdateras på areaservot med frekvensen 50 Hz.

Andra reglermetoder än  $\pi_t$ -regl kommer att användas, t ex  $\pi_{gg}$ -regl. Se fig 2.1.3.

$\pi_{gg}$ -reglering

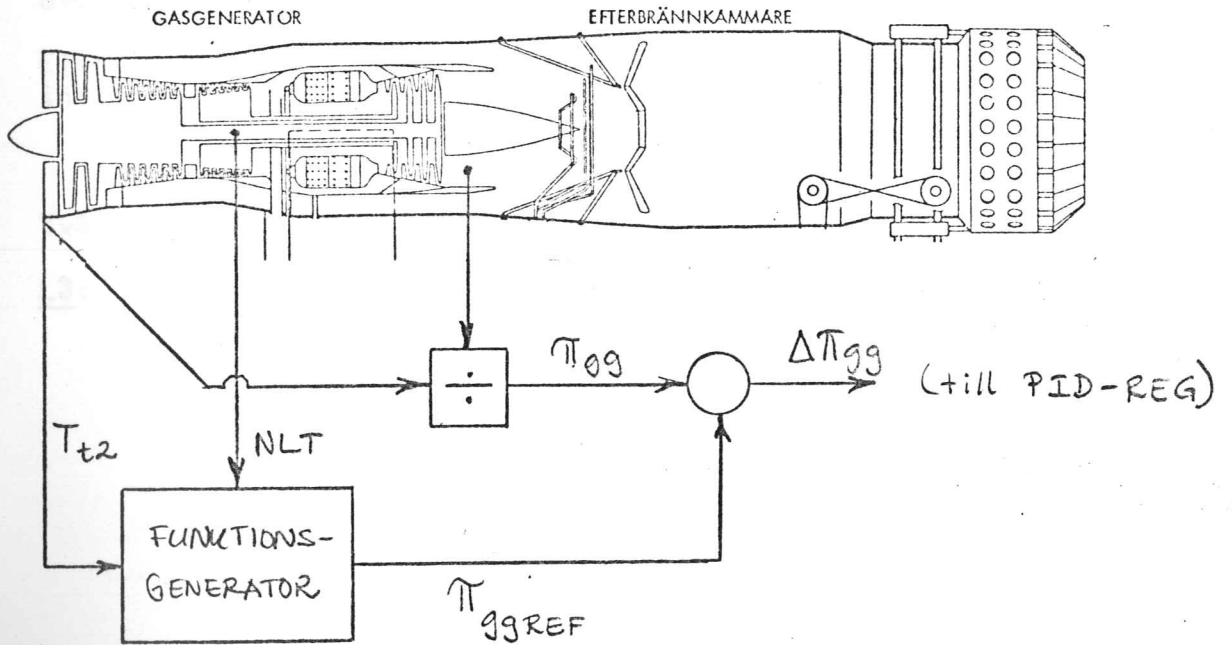


Fig 2.1.3

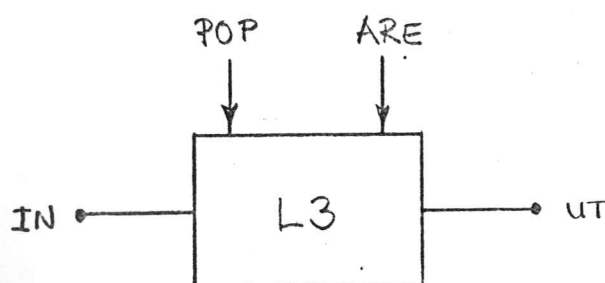
### Beskrivning av resterande delar i fig 1.2.5.

2.2  $\rho$ -signalen omvandlas till en ekvivalent area i block nr 6. Detta areabehov plus  $\pi$ -regl behov summeras tillsammans med föröppningsarean till ett totalt areabehov före block nr 7. Föröppningsarean har till uppgift att minska tryckstörningarna över grundmotorn då ebk:n tändes.

Efter block 7 erhålles ekvivalent manöverkolvläge, vilket är insignal till servot.

Två logikblock finns utritade, nämligen L3 och L5.

L3:



UT = IN om ARE = 1

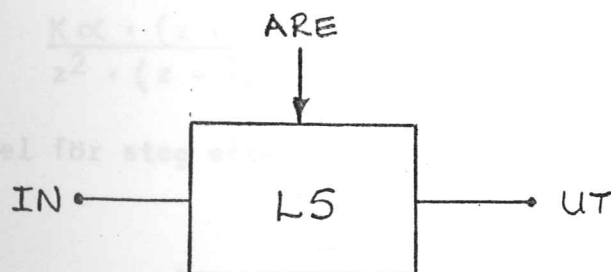
UT = MAX AREA om POP = 1

UT = MIN AREA för övriga fall

ARE = 1, om högtrycksrotorns varvtal (NHT) är större än ebk aktiveringsvarv och pilotens gaspådrag är större än  $70^\circ$ .

POP = 1, om landstället är belastat och NHT är mindre än ett visst varvtal

L5:

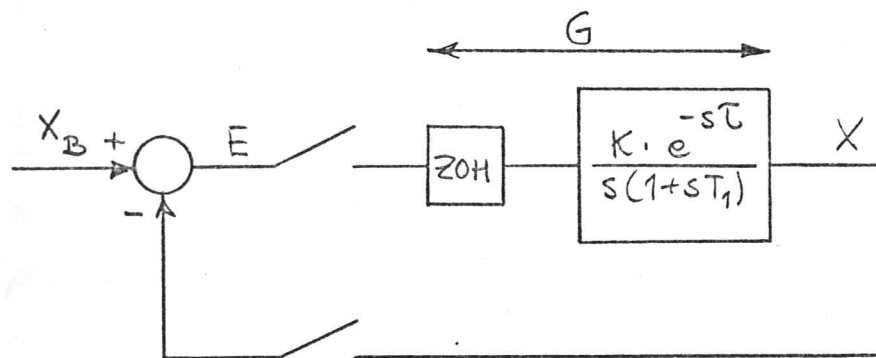


UT = IN och ARE = 1

I övriga fall är UT = 0

## 2.2 ANALYS AV OKOMPENSERADE OCH KOMPENSERADE SYSTEMETS REGLEREGENSKAPER.

System:



$$\frac{E}{X_B} = \frac{1}{1 + G(z)}$$

Systemet reglerar ett steg felfritt.

Motivering:

$$G(s) = \frac{1 - e^{-sT}}{s} \cdot \frac{K \cdot e^{-s\tau}}{s(1 + sT_1)}$$

$$G(z) = (1 - z^{-1}) \cdot z^{-2} \cdot G_1(z)$$

$$G_1(z) = \frac{K\alpha \cdot z \cdot (z + \delta)}{(z - 1)^2 \cdot (z - \beta)}$$

$$G(z) = \frac{K\alpha \cdot (z + \delta)}{z^2 \cdot (z - 1) \cdot (z - \beta)}$$

Reglerfel för steg efter oändlig tid betecknas med  $C_0$ 

$$C_0 = \lim_{z \rightarrow 1} (1 - z^{-1}) \cdot \frac{1}{1 + G(z)} = \frac{1}{1 + G(1)} = 0$$

Reglerfel för ramp betecknas med  $C_1$ .

$$C_1 = \lim_{z \rightarrow 1} \frac{(1 - z^{-1}) \cdot \frac{Tz}{(z-1)^2}}{1 + G(z)} =$$

$$= \lim_{z \rightarrow 1} \frac{T \cdot z^2 \cdot (z - \beta)}{K\alpha \cdot (z + \gamma)} = 0.017$$

$$K = 60; \quad \alpha = 0,0027; \quad \gamma = 0.801$$

$$\beta = 0.513$$

Vid reglering av en parabel erhålles ett stationärfel som är oändligt stort.

Felkoefficienter vid olika regleringar

Prop -regulator (Se fig 2.2.1)

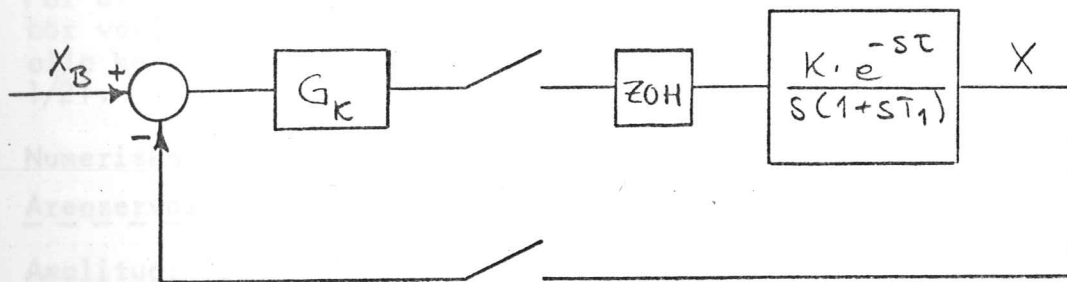


Fig 2.2.1  
Innerloop.

$G_K = 0.25$  (proportionell regulator)

$C_0 = 0$

$C_1 = 0.067 = 6,7 \%$

$C_2 = \infty$

Fasavancerad kompensering

$G_K(z) = \frac{1.235 - 0.633 z^{-1}}{1 + 0.802 z^{-1}}$  (nominellt filter)

$C_0 = 0$

$C_1 = 0.017 = 1,7 \%$

$C_2 = \infty$

### Störningar och brus

Stokastiskt brus införes i areaservoloppens negativa återkoppling, samt för tryckmätning i vissa betydelsefulla punkter.

Några kommentarer:

För att undvika obehagligheter, på grund av vikningseffekten, bör varje samplare föregås av ett filter, som effektivt eliminerar alla komponenter i den samplade signalen med frekvenser högre än  $1/2T$ .

Numeriska värden på brusamplitud och - frekvens:

Areaservoloopen.

Amplitud: 1,5 mm (0,06 inch)

Frekvens: 0 - 50 Hz

$\overline{t}$ -regleringen (Pt7-mätningen)

Amplitud: 4,82 kPa (0,7 psi)

Frekvens: 0 - 25 Hz

3) Regleringen  
av störning  
möjligt.

## 2.3 SPECIFIKATIONER PÅ DET NYA REGLERSYSTEMET.

3.1 Enligt tidigare prov i testtrigg med ett areaservo bestående av en momentmotor och ställcylindrar har följande resultat framkommit.

På grund av den tidigare nämnda tidsfördröjningen erhöles omkring 10 % översving vid ungefär 60 ggr förstärkning på areaservot. Med tanke på tryckspikar i pumpar och mekaniska påkänningar är detta en oacceptabelt hög översving.

I stället vore det önskvärt att ha en krets förstärkning på omkring 60 och stegsvaret översvängningsfritt, samt stigtiden omkring 0,2 sek. Detta skulle ge en betydligt snabbare reglering av arean än nuvarande hydromekaniska system presterar. Hur snabb man kan göra regleringen måste vägas mot rippel i utsignalen samt styrsignalens storlek till momentmotorn. Dessa synpunkter är viktiga med tanke på slitage av servot och tryckspikar i pumparna.

Sammanfattningsvis kan följande nämnas:

- 1) Så snabb reglering som möjligt av arean med små styrsignaler till servot samtidigt som utsignalen är rippelfri.
- 2) Regleringen bör vara relativt okänslig mot parametervariationer ( $\tau$ , K och  $T_1$ ).
- 3) Regleringen skall ha ett acceptabelt uppförande vid införande av störning, dvs utsignalens varians bör vara så liten som möjligt.

Lapacetransform för system).

$$X_2(s) = \frac{K_0}{s(1 + sT_1)}$$

$$\tau = 0,02 \text{ s}$$

$$T_1 = 0,015 \text{ s}$$

$$K = 60$$

$$\text{SAMPLINGSTIDEN } T = 0,01 \text{ s}$$

Följande beteckningar införes

$$G(s) = \frac{K}{s(1 + sT_1)}$$

$G(z)$  anger att  $G$  är given i



### 3. DIMENSIONERING AV DIGITAL REGULATOR FÖR AREAREGLERING

#### 3.1 DIMENSIONERING AV FASAVANCERADE NÄT.

Systemet (fig 3.1.1) skall regleras så att specifikationerna på stegsvaret uppfylles.

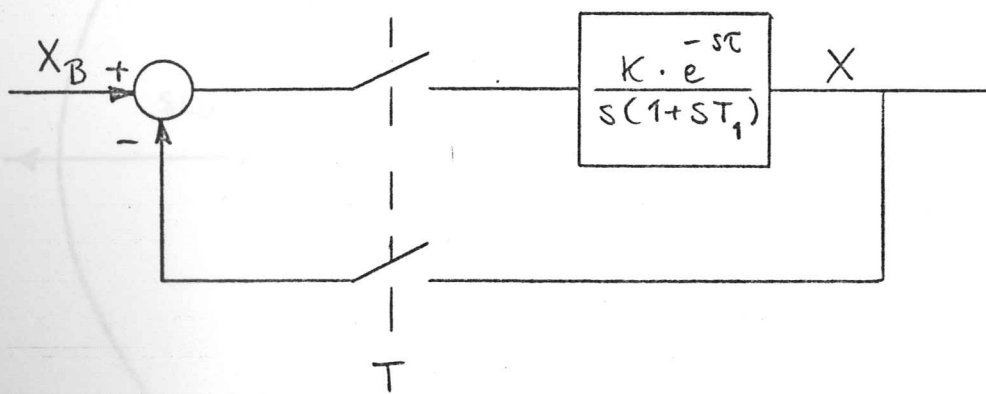


Fig 3.1.1

Lapacetransform för momentmotor och manövercylinder (kontinuerligt system).

$$X_B(s) \cdot \frac{K e^{-s\tau}}{s(1 + sT_1)} = X(s)$$

$$\tau = 0,02 \text{ s}$$

$$T_1 = 0,015 \text{ s}$$

$$K = 60$$

$$\text{SAMPLINGSTIDEN } T = 0,02 \text{ s}$$

Följande beteckningar införes

$$G(s) = \frac{K}{s(1 + sT_1)}$$

$G(z)$  anger att  $G$  är given i  $z$ -transform på grund av att sampling sker.

Det kontinuerliga systemet är stabilt för alla  $K$ , men för det samplade gäller ej detta, ty fasmarginal förloras då sampling sker. Se fig 3.1.2.

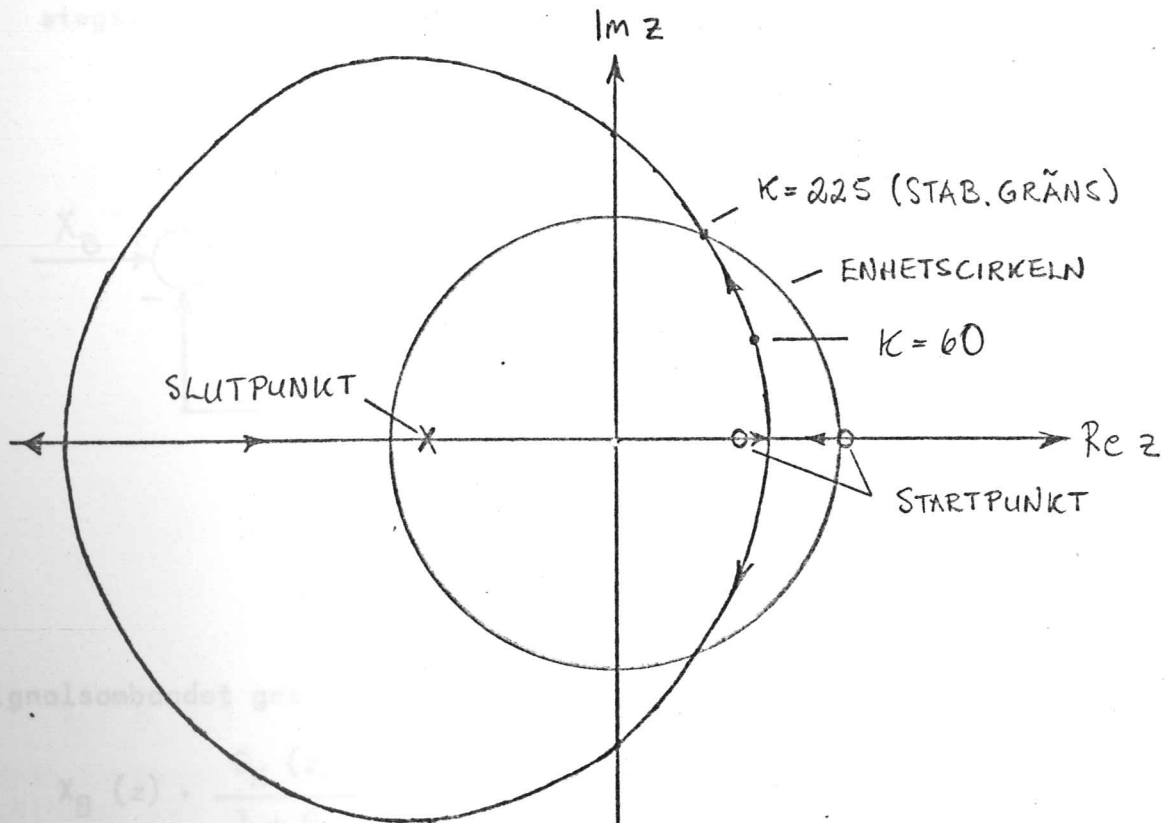


Fig 3.1.2

Rotorten för det samplade systemet utan tidsfördröjning.

Enl fig 3.1.2 blir det samplade systemet instabilt för  $K = 225$ .

Som första försök att reglera det givna systemet med tidsfördröjning konstrueras en Otto-Smith regulator.

Fig 3.1.3

Med dessa förutsättningar för

### Otto-Smith regulator

#### Beräkningsprincip.

1. Man ser till att det icke fördröjda systemets (fig 3.1.3) stegsvar uppfyller specifikationerna.

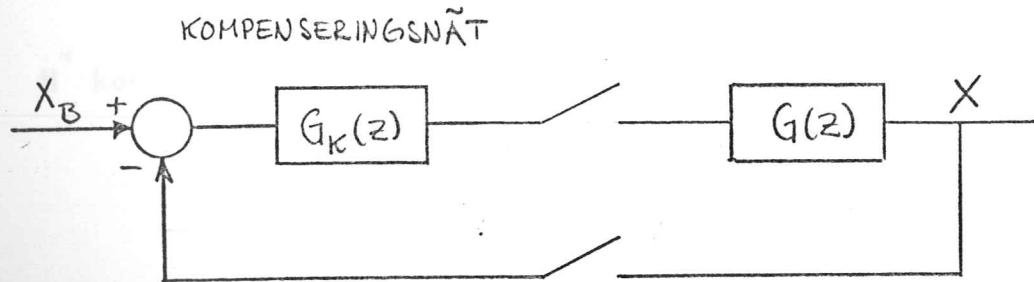


Fig 3.1.3

Kompenserat system.

Signalsambandet ges av:

$$X_B(z) \cdot \frac{G_K(z) \cdot G(z)}{1 + G_K(z) \cdot G(z)} = X(z)$$

2. Med tidsfördröjning skall samma stegsvar erhållas som i punkt 1, med den skillnaden att stegsvaret nu är förskjutet K steg (fig 3.1.4) I vårt fall är  $K = 2$ , ty  $\tau = 2T$  ( $T =$  samplingstiden)

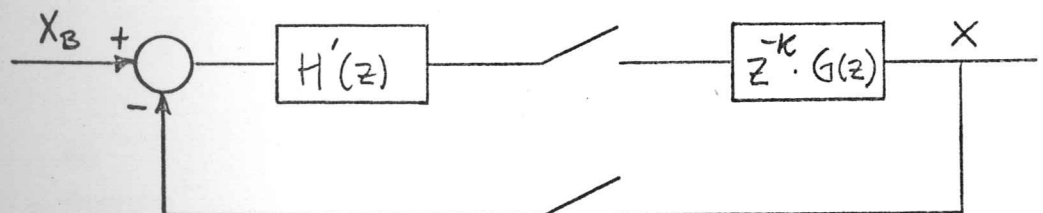


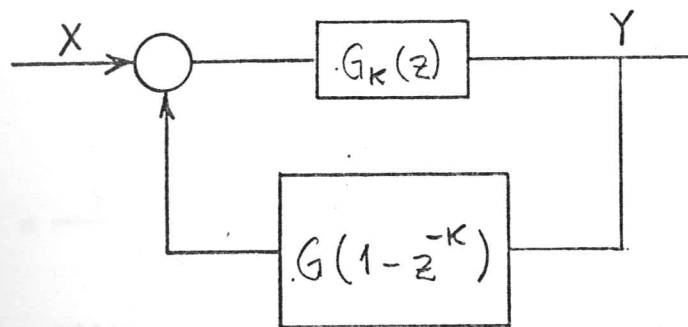
Fig 3.1.4

Med dessa förutsättningar får man följande likhet:

$$\frac{z^{-K} \cdot H' \cdot G}{1 + z^{-K} \cdot H' \cdot G} = \frac{z^{-K} \cdot G_K \cdot G}{1 + G_K \cdot G}$$

$$H' = \frac{G_K}{1 + G \cdot G_K (1 - z^{-K})}$$

$H'$  kan i blockschema konstrueras enl fig nedan.



$$X \cdot H' = Y$$

Först beräknas z-transformen för det slutna systemet utan fördröjning. För att uppfylla stegsvarsspec räcker det att  $G_K$  är en prop-regulator. Uppsnabbning av systemet är önskvärt, varför även ett fasavancerande filter konstrueras.

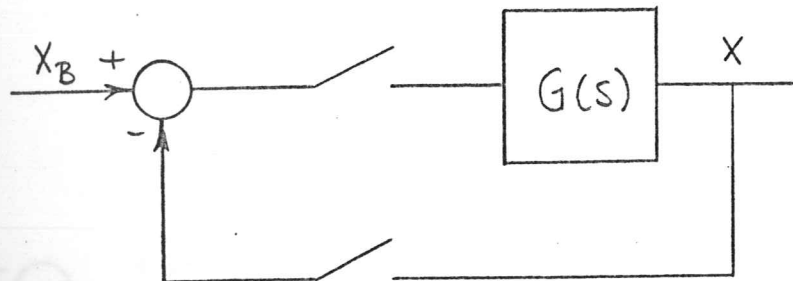
$$K = 60$$

$$\alpha = 0,0027$$

$$\xi = 0,201$$

$$\beta = 0,513$$

Bestämning av systemets z-transform utan fördröjning



$$G(s) = \frac{1 - e^{-sT}}{s} \cdot \frac{1}{(1 + sT_1)} \cdot \frac{K}{s}$$

Hållkrets

Momentmotor +  
Manövercylinder

$$X_B(s) \cdot \frac{G(s)}{1 + G(s)} = X(s)$$

$$X_B(z) \cdot \frac{G(z)}{1 + G(z)} = X(z)$$

$$G(s) = \frac{(1 - e^{-sT}) K}{s^2 (1 + sT_1)} \quad (=) \quad G(z) = \frac{K \alpha (z + \gamma)}{(z-1)(z-\beta)}$$

$$\begin{aligned} K &= 60 \\ \alpha &= 0,0027 \\ \gamma &= 0,801 \\ \beta &= 0,513 \end{aligned}$$

$$\begin{aligned} T &= 0,02 \text{ s} \\ T_1 &= 0,015 \text{ s} \end{aligned}$$

Sammanfattningsvis kan följande blockschema (fig 3.1.5) ritas då Otto-Smith regulator användes.

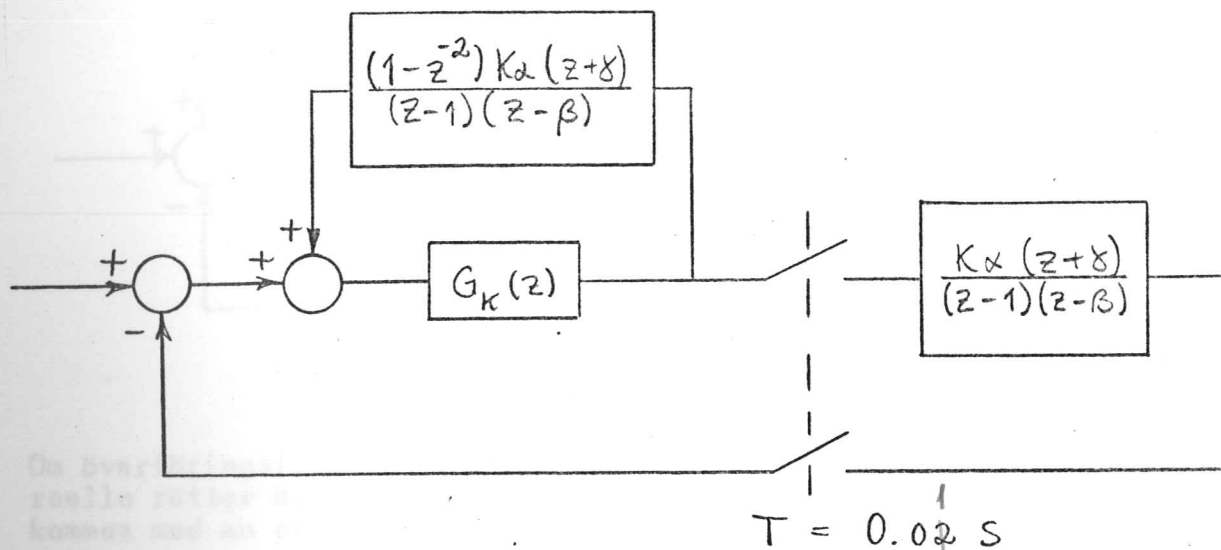
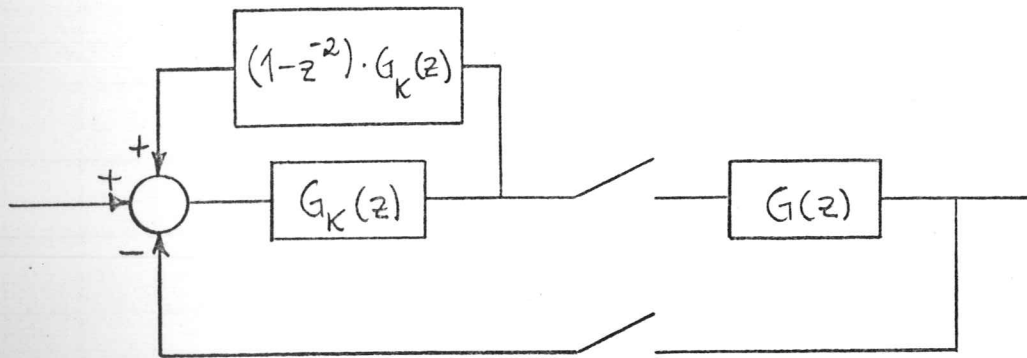


Fig 3.1.5

Blockschema i z-transform för systemet försett med Otto-Smith reg.

Bestämning av  $G_K(z)$ .



Om överföringsfunktionens nämnare, för det slutna systemet har reella rötter är stegsvaret översvängningsfritt. Detta kan åstadkommas med en proportionell regulator.

Välj  $G_K(z) = 0.25$

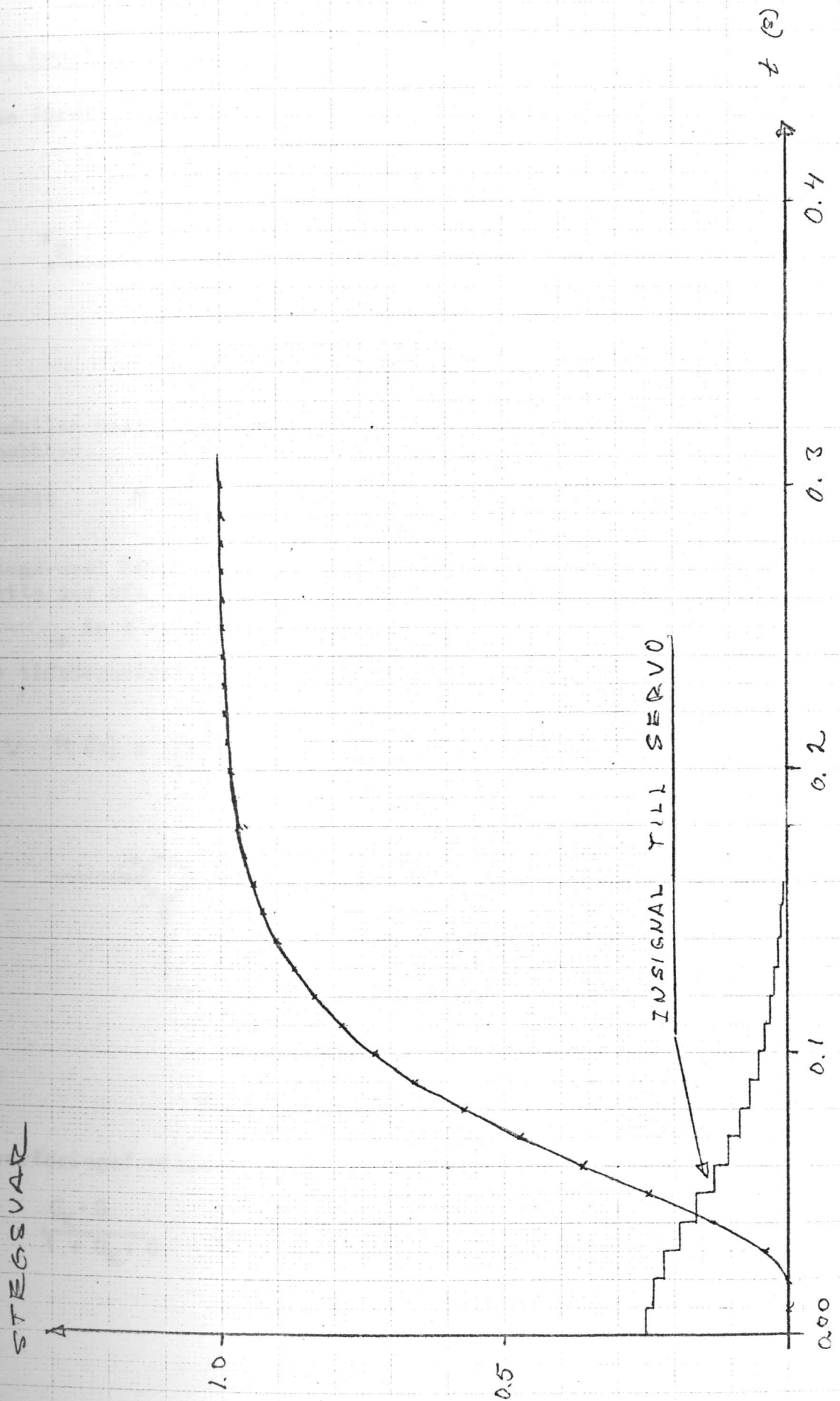
För programmering av de olika blocken hänvisas till bilaga 2.

Stegsvar med proportionell regulator och Otto Smith-regulator har studerats med hjälp av detta program. Se fig 3.1.6. Stegsvaret regleras utan fel, eftersom en integrator finns i servot.

Rippel i stegsvaret kan ej studeras, därför att vi endast studerar utsignalen i samplingspunkterna. Insignalen till servot är acceptabel. Tidsspecifikationerna är uppfyllda.

Då man ökar kravet på insignalens utseende (t ex ramp) blir de stationära felen relativt stora med prop.-reg. Kravet på så snabb  $\pi_t$ -regl som möjligt gör att ett uppsnabbat system vore önskvärt.

STEGSVAR MED PROPORTIONELL  
REGULATOR + OTTO SMITH





### Generell konstruktionsmetod för filter

Som första försök ansättes en modell av grad 1 (se fig 3.1.7)

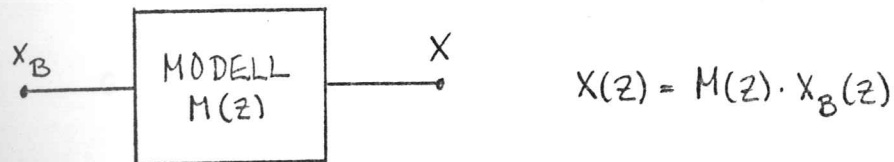


Fig 3.1.7

Modellen bestäms av specifikationerna till stegsvaret och av önskad snabbhet.

Ansätt 
$$M(z) = \frac{1 - a}{z - a}$$

Stegsvaret bör ha ett fel som är mindre än 0,1 efter 10 samlingar. Detta ger att

$$e^{\ln a \cdot 10} = 0,1 \Rightarrow a \approx 0,8$$

ty tidsberoendet har ett exponentiellt uppförande enl  $\exp(\ln a/T \cdot t)$

$$\therefore M(z) = \frac{0,2}{z - 0,8}$$

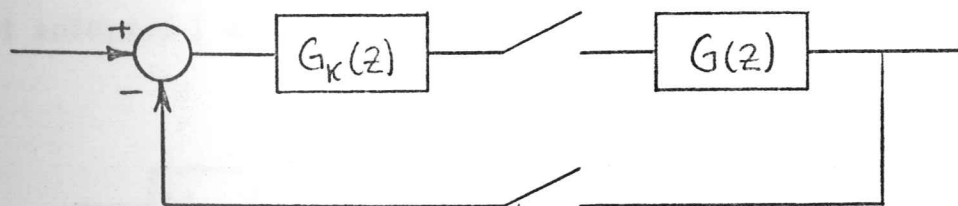


Fig 3.1.8

Blockschema för systemet

Överföringsfunktionen för det återkopplade systemet ges av

$$\frac{G_K \cdot G}{1 + G_K \cdot G} \quad (\text{se fig 3.1.8})$$

Sätt nu  $\frac{G_K \cdot G}{1 + G_K \cdot G} = M$

$$G_K(z) = \frac{M(z)}{(1 - M(z)) \cdot G(z)}$$

$$G(z) = \frac{0.162z + 0.130}{(z-1)(z - 0.513)}$$

$$\Rightarrow G_K(z) = \frac{1.235z - 0.633}{z + 0.802}$$

Detta filter kallas i fortsättningen för nominellt filter.

Regleringen kompletteras sedan med Otto Smith-regulatorn, som tar hand om tidsfördröjningen. Se fig 3.1.5. Detta system har testats på LTH med simuleringsprogrammet SIMNON.

Vid uttestningen har även hänsyn tagits till manöverkolvens maxhastighet. Max-kolvhastigheten är 0,3 m/s (11,8 inch/s). Insignalen till servot kallas ACCOT1. Utsignalen kallas ACTPOS.

Härefter följer testresultat. Se fig 3.1.9 - fig 3.1.16.

Uppsnavbat system har

$$G_K(z) = \frac{2.037 - 1.045z^{-1}}{1 + 0.802z^{-1}}$$

Bruset infördes i modellen enl fig 3.1.17 (se även fig 1.5)

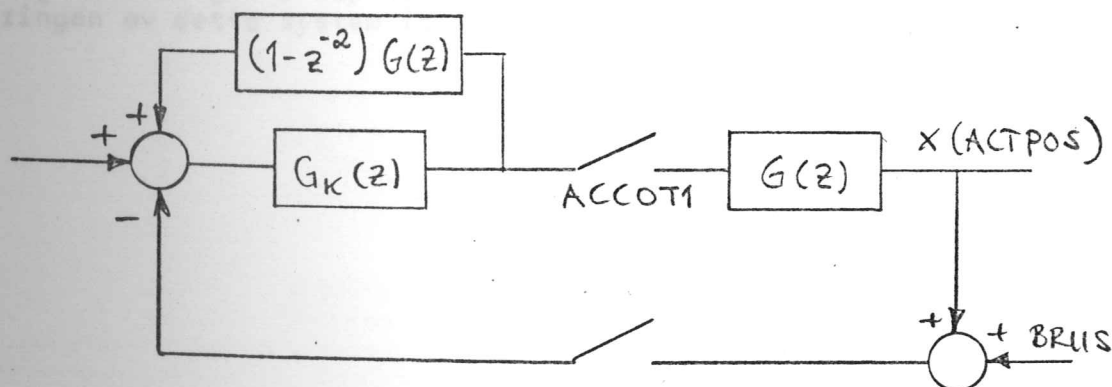


Fig 3.1.17

Brus införes i återkopplingen

Fig 3.1.9 visar den kontinuerliga ACTPOS, i vilken några samplingspunkter är utritade samt ACCOT1. Som synes är ej ACTPOS rippelfri. Styrsignalerna (ACCOT1) är relativt stora. Då hastighetsbegränsningen pålagges minskar ripplet, se fig 3.1.10.

I fig 3.1.11 återges det uppsnabbade systemets stegsvar. Styrsignalerna till servot är mycket stora.

Systemets känslighet mot parametervariationer återges i fig 3.1.13 och 3.1.14.

Stegsvaret svänger ej över i något fall i fig 3.1.13, men signalen har rippel. Införande av hastighetsbegränsning minskar ripplet något. För  $T_1 = 0,03$  svänger stegsvaret över (fig 3,1,14), samt ripplet ökar då  $T_1$  minskar.

Kolvlägets uppförande då brus införes i systemet återges i fig 3.1.15. Kolvläget är mycket knyckigt vilket ger upphov till slitage, och dessutom är styrsignalerna till servot stora.

Avslutningsvis kan följande sägas:

Det är önskvärt med små styr signaler till servot, och systemet bör vara så rippelfritt som möjligt. Regleringen bör heller inte vara för känslig för parametervariationer. Regleringen, som presenterats, uppfyller tidsspecifikationerna i alla sammanhang. Om systemet är väl känt är ripplet någorlunda acceptabelt, men styrsignalerna till servot är för stora ur slitagesynpunkt.

Valet av modul ( $M(z)$ ) och därmed kompensering snät ( $G_K(z)$ ) kan göras på många sätt med hänsyn till specifikationer och systemets grad. Insignalerna till servot kan minskas genom att öka graden på  $M(z)$ . Stegsvarets rippel minskar betydligt då insignalerna till servot minskar (Se kap 3.3).

Fasavancerade filter kombinerat med Otto-Smith regulator anses härmed slutbehandlat. En sammanställning av denna regulator och av övriga regulatorer ges i kap 4. Andra intressanta sätt att angripa regleringen av detta system följer i kap 3.2 och 3.3.

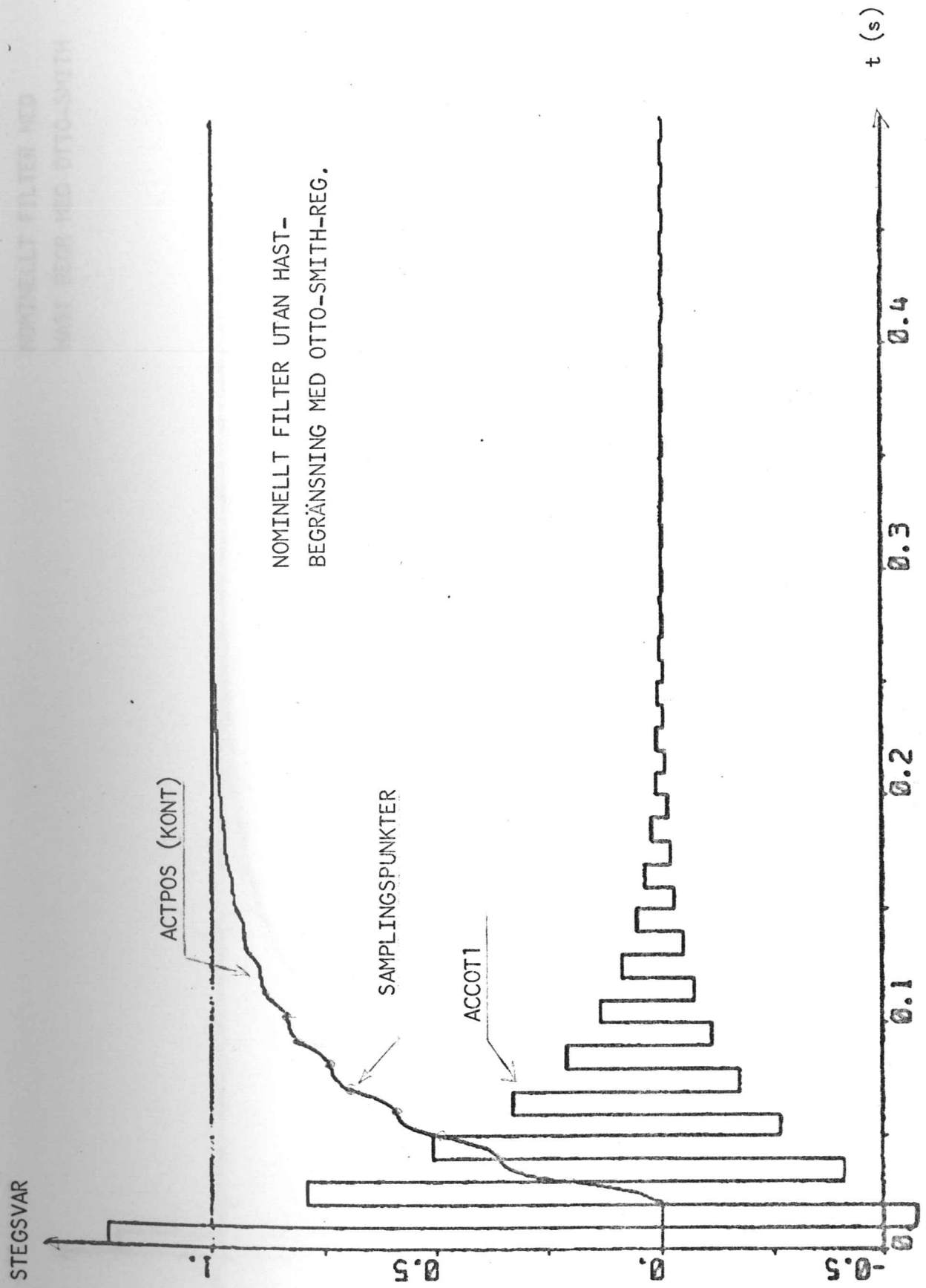


Fig 3.1.9

NOMINELLT FILTER MED  
HAST BEGR MED OTTO-SMITH

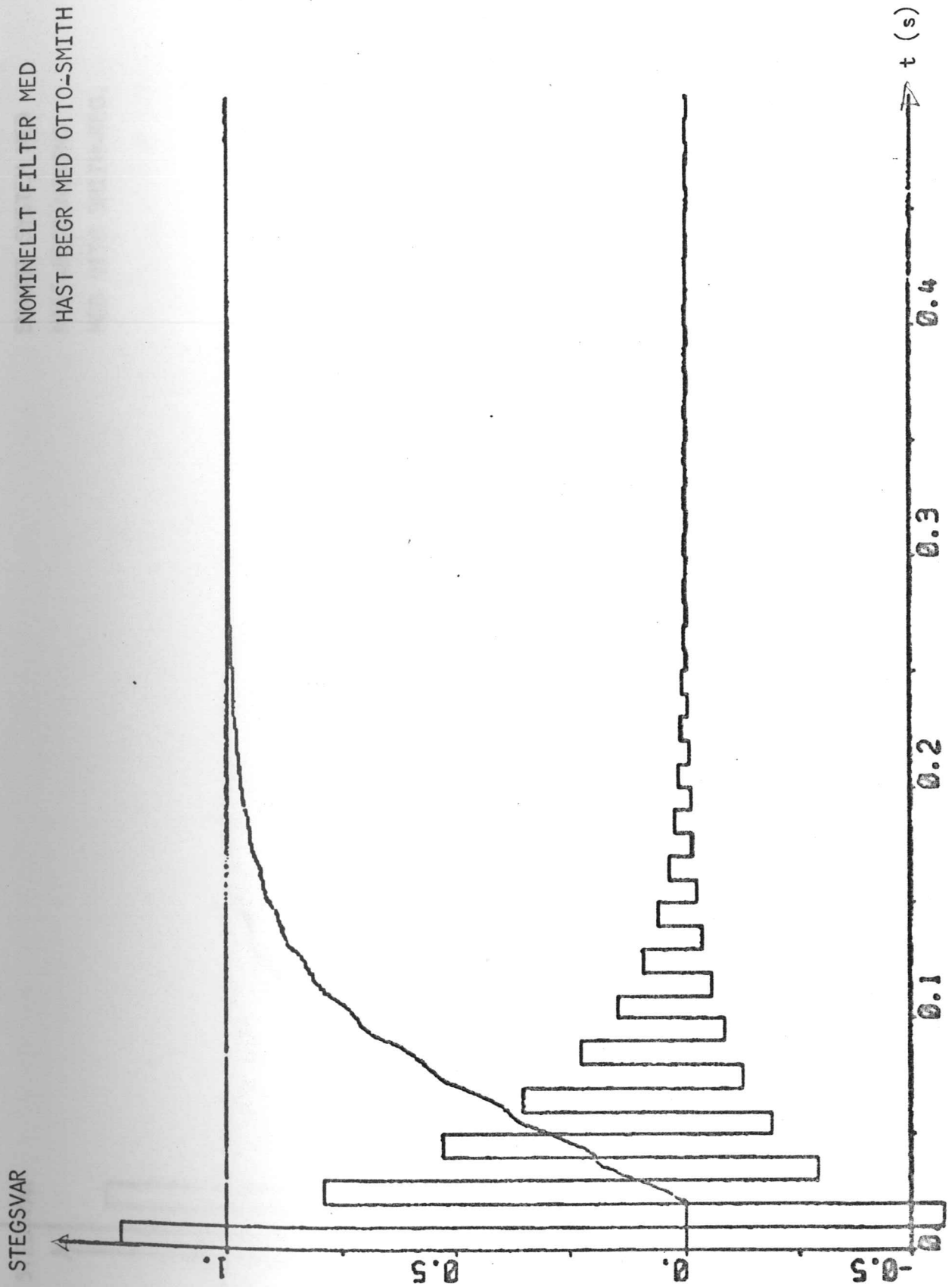


Fig 3.1.10

INITIAL VÄRDE SFEL

SNABBT SYSTEM MED  
HAST-BEGRÄNSNING  
MED OTTO SMITH-REG.

STEGSVAR

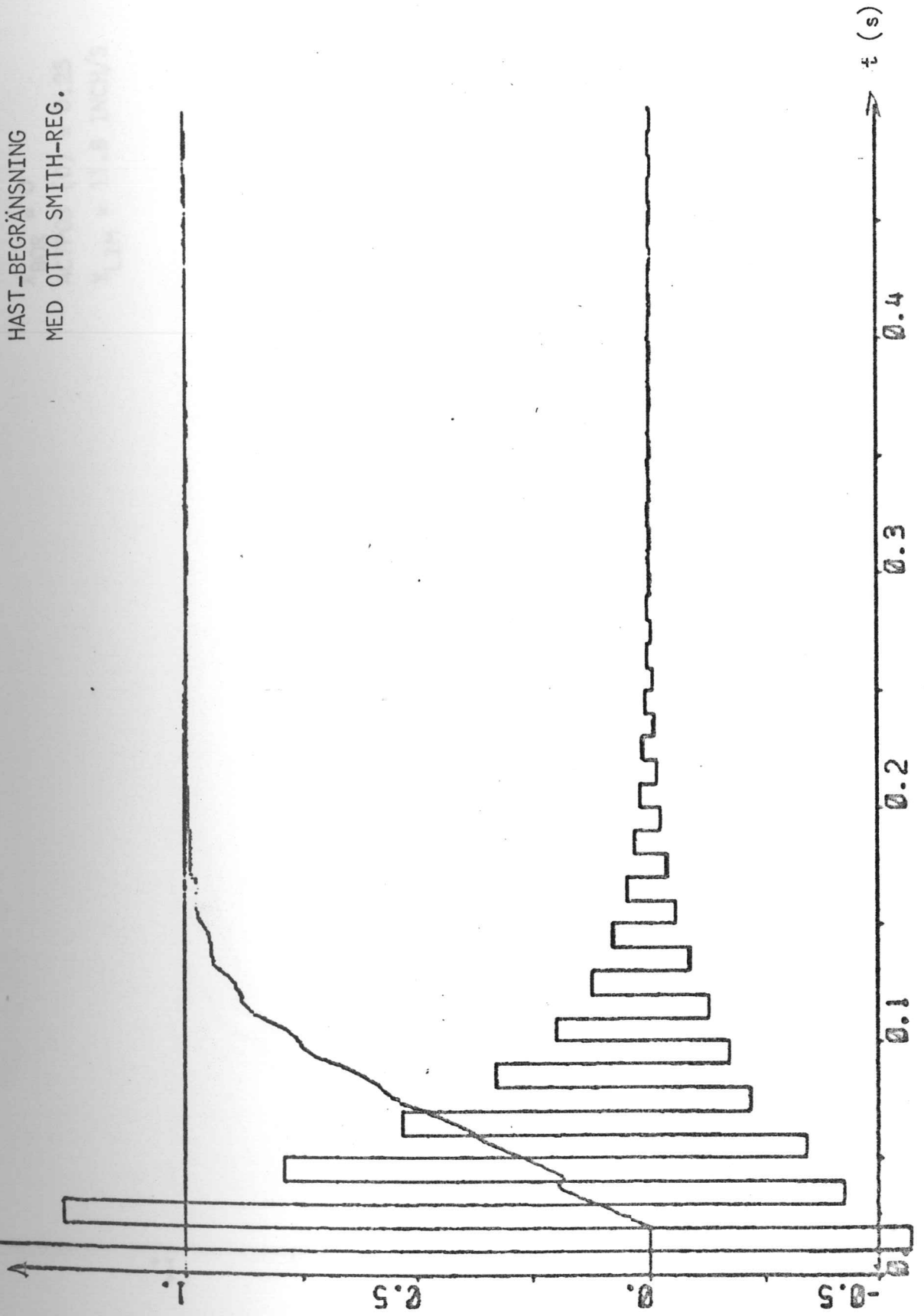


Fig 3.1.11

INITIALVÄRDESFEL

HOS KOLVLÄGET.

$$x_{BOR} = 0$$

$$ACTPOS (0) = 0.25$$

$$x_{LIM} = 11.8 \text{ INCH/S}$$

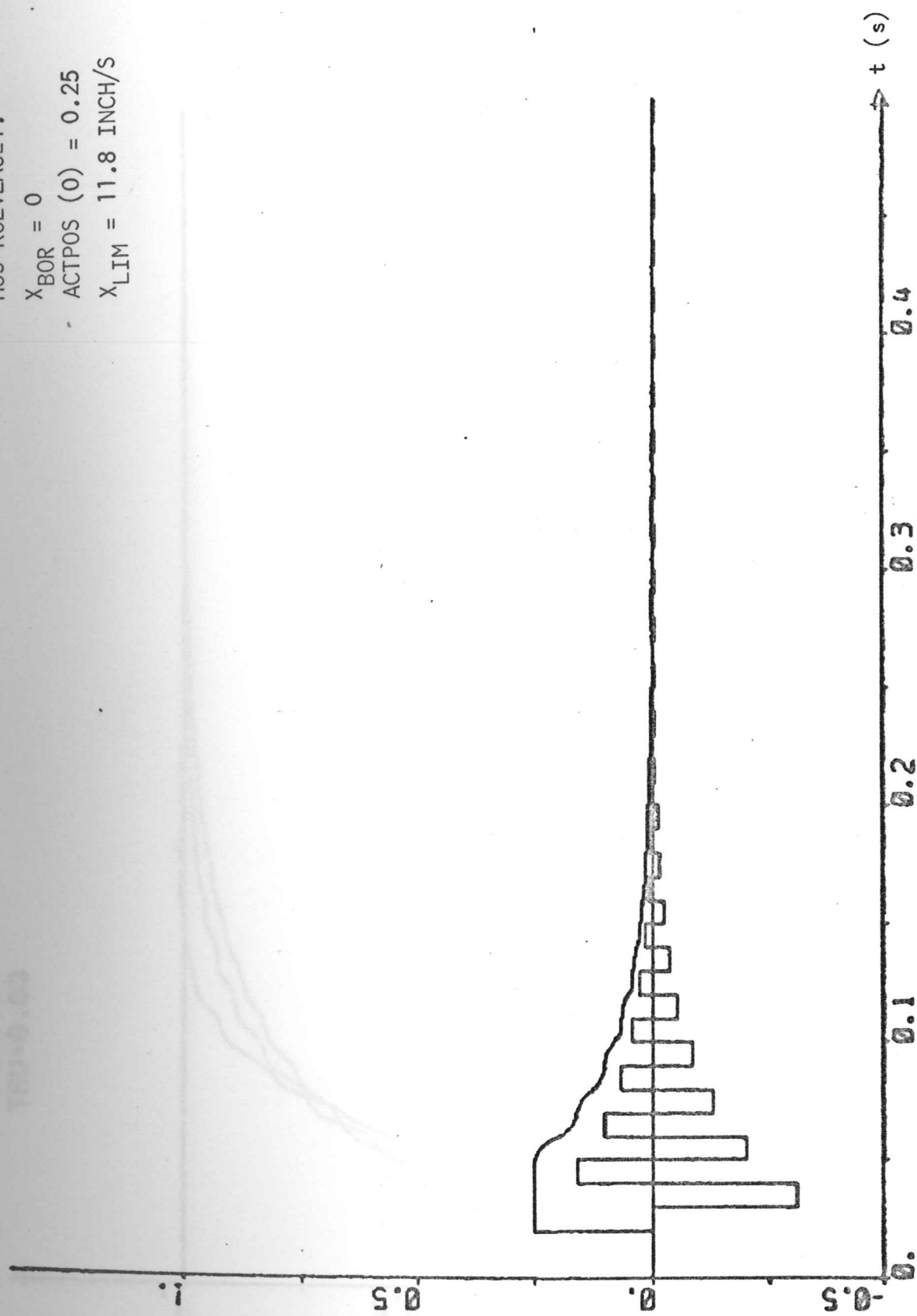
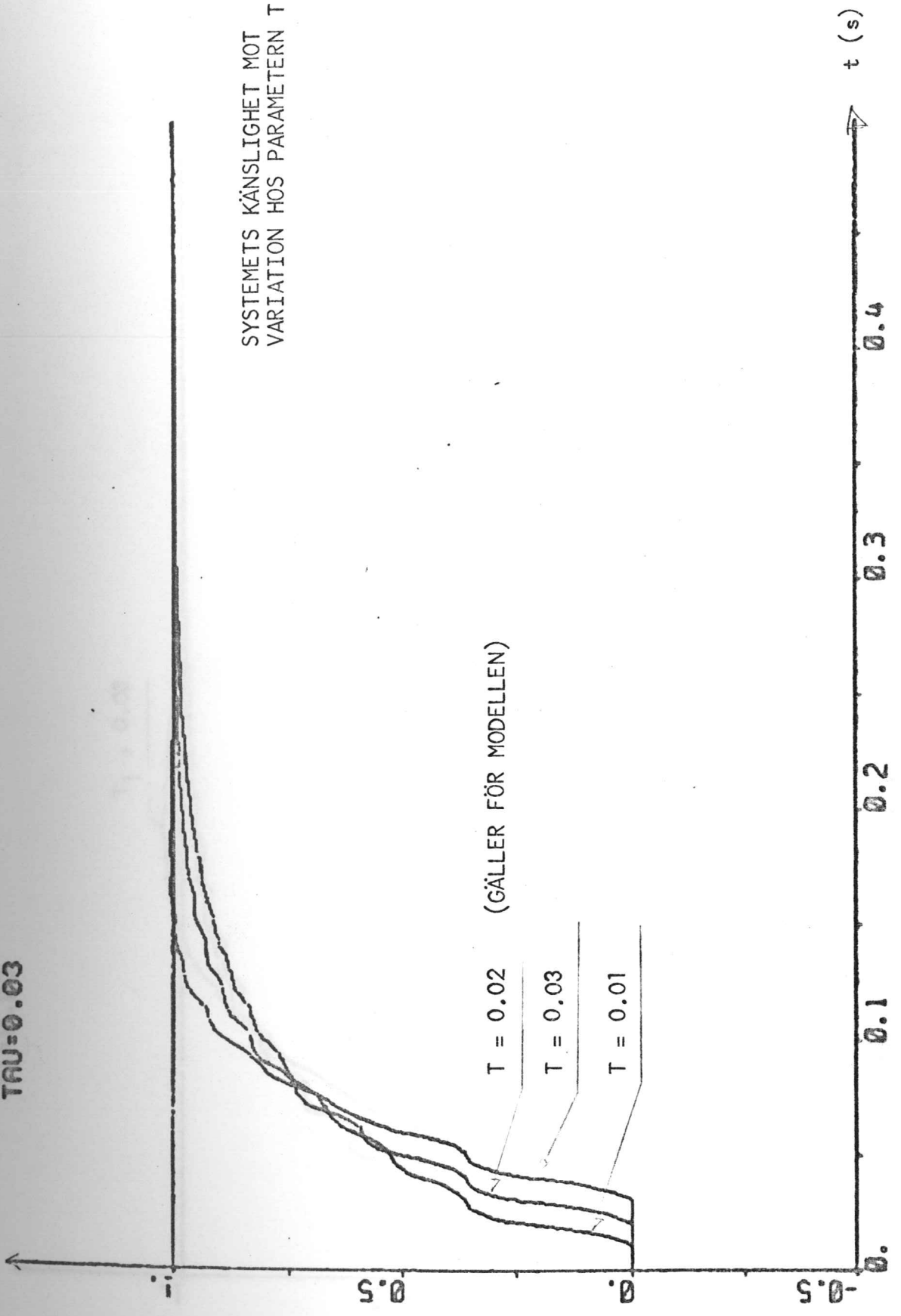


Fig 3.1.12

FLUI TYKRETT TILDELNING

TAU=0.02  
TAU=0.01  
TAU=0.03

STEGSVAR



SYSTEMETS KÄNSLIGHET MOT VARIATION HOS PARAMETERN T.

(GÄLLER FÖR MODELLEN)

T = 0.02

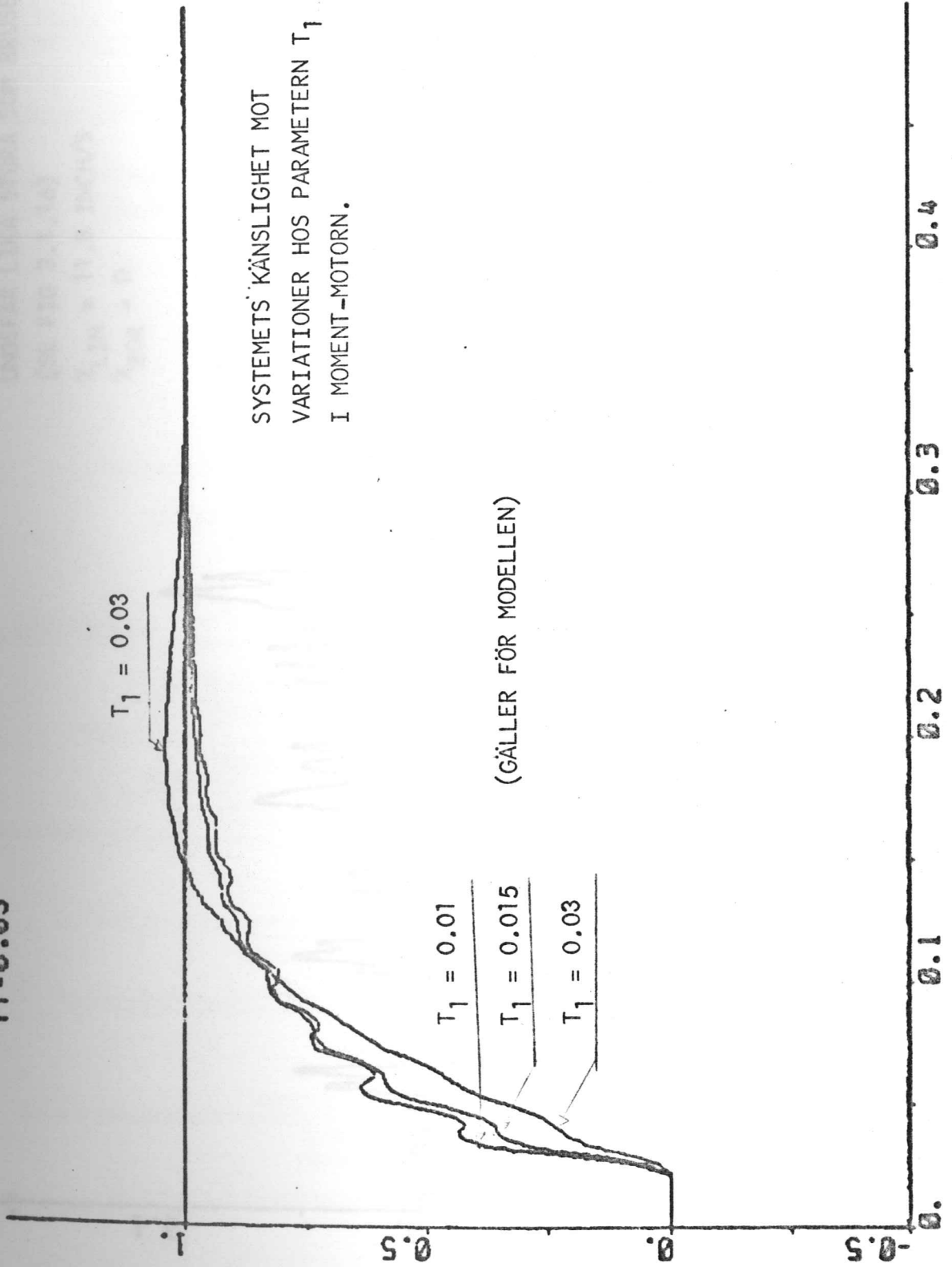
T = 0.03

T = 0.01

Fig 3.1.13



T1=0.015  
T1=0.01  
T1=0.03



SYSTEMETS KÄNSLIGHET MOT  
VARIATIONER HOS PARAMETERN  $T_1$   
I MOMENT-MOTORN.

(GÄLLER FÖR MODELLEN)

Fig 3.1.14

UTSIGNAL (BRUS N [0.01])

STYRSIGNALERNA TILL SERVOT ÄR  
UNGEFÄR LIKA STORA SOM BRUSET  
(SE FIG 3.1.16)  
 $X_{LIM} = 11.8$  INCH/S  
 $X_{BOR} = 0$

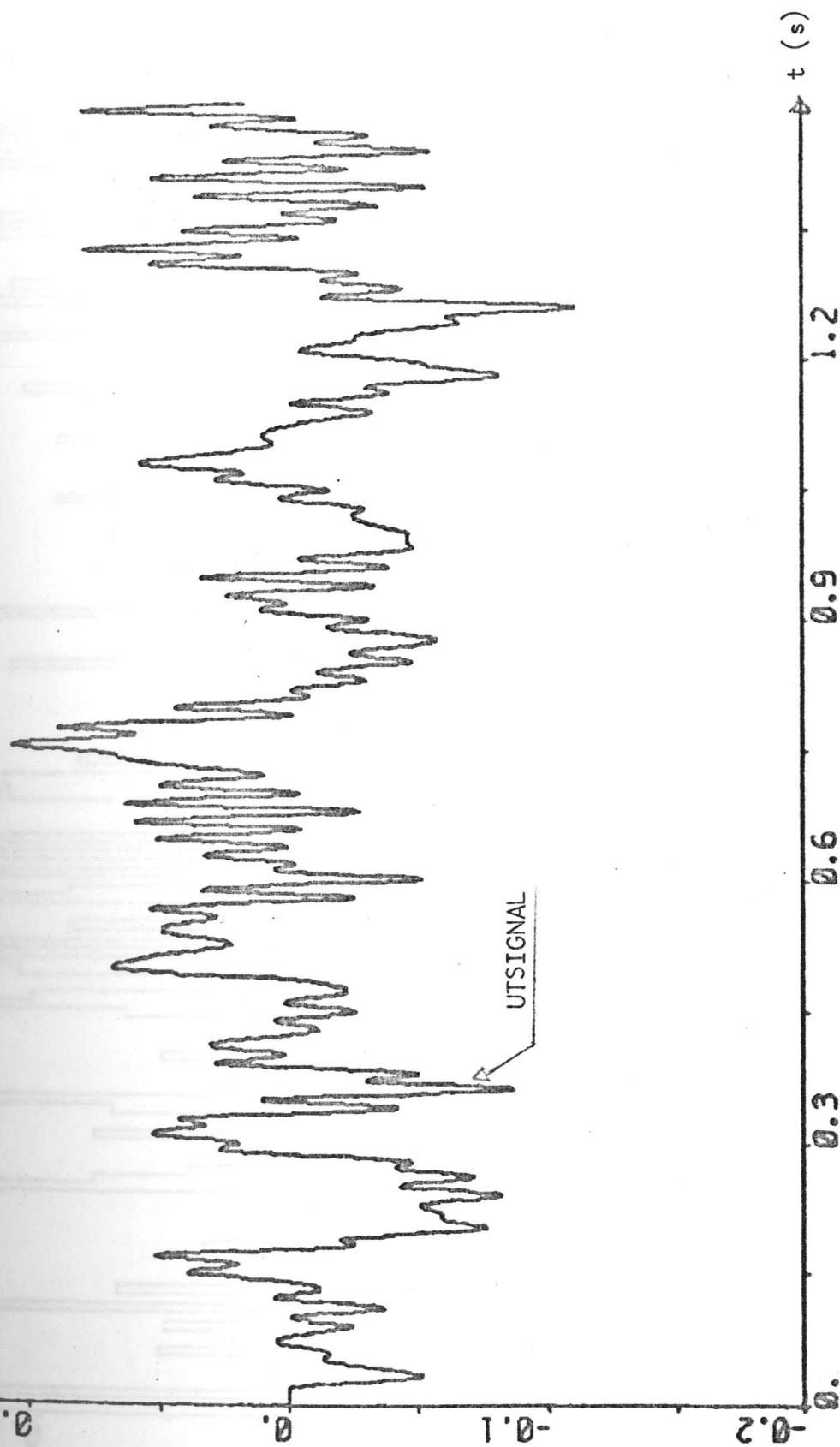


Fig 3.1.15

3.2 FRAMOPPLI

Registrierung

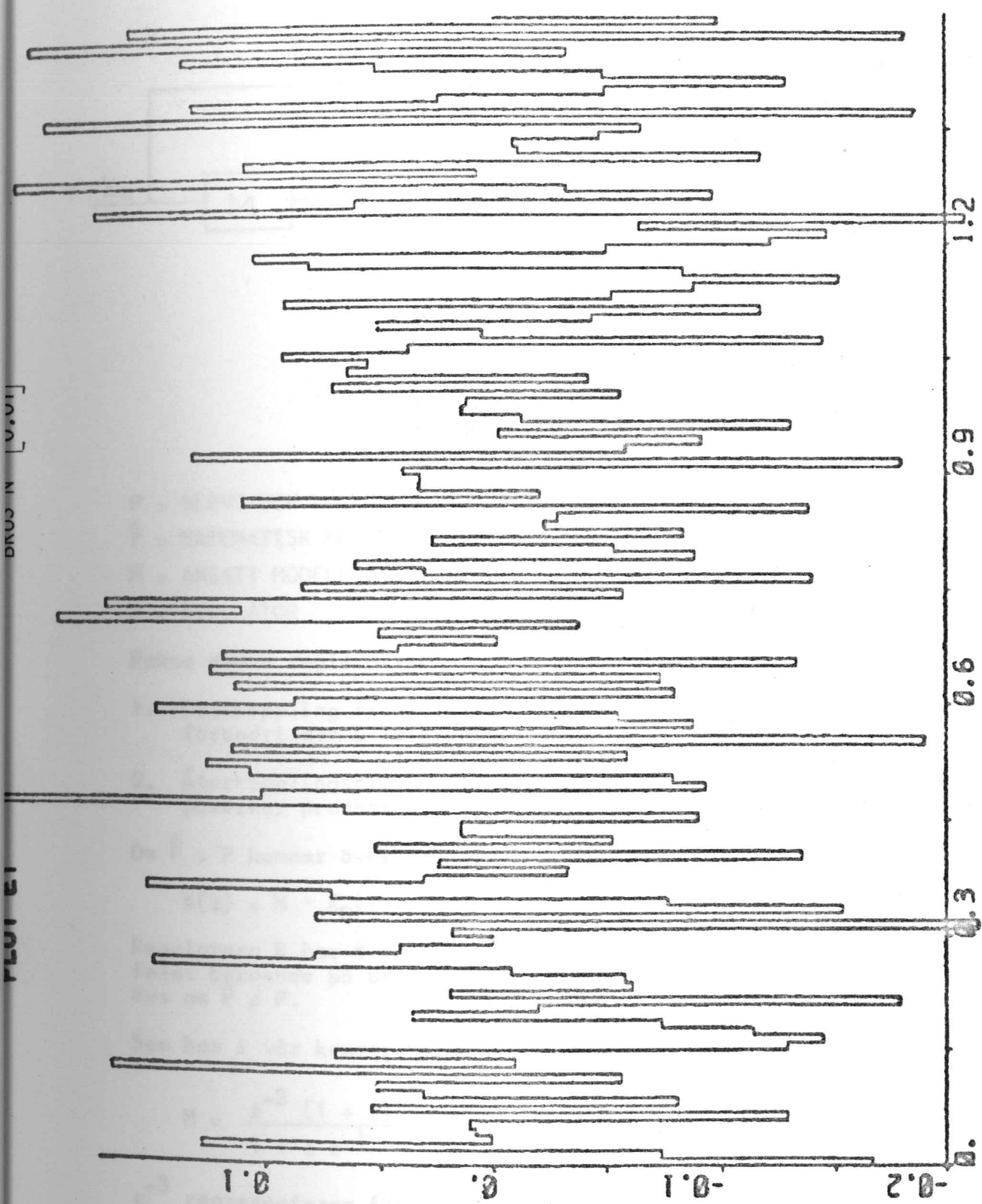


Fig 3.1.16

## 3.2 FRAMKOPPLING KOMBINERAT MED ÅTERKOPPLING

Regleringsprincip se Fig 3.2.1.

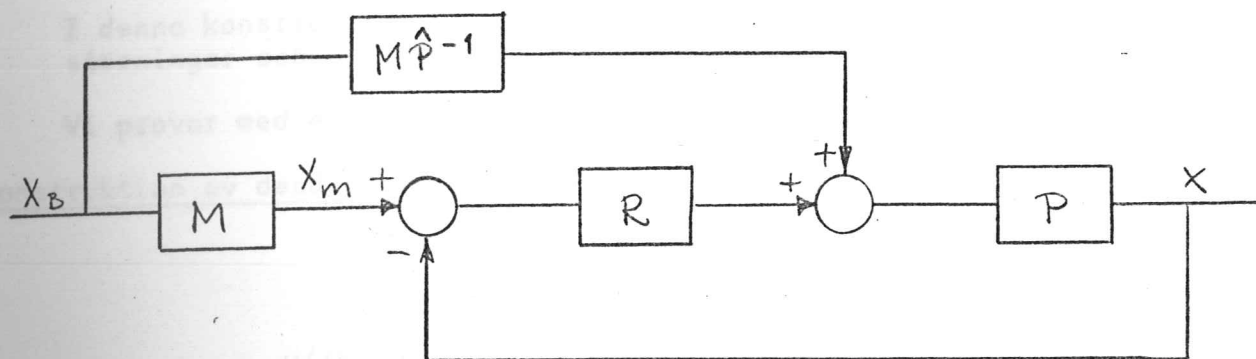


Fig 3.2.1

Blockschema.

P = SERVO OCH HÅLLKRETS

$\hat{P}$  = MATEMATISK MODELL AV P

M = ANSATT MODELL AV SYSTEMET

R = REGULATOR

Bakom denna reglerprincip ligger i första hand två filosofier:

1. Framkoppling från referenssignalen. Blocket  $M\hat{P}^{-1}$  tar hand om förändringar i referenssignalen.
2. Återkopplingsgrenen med regulatorn tar hand om störningar som påverkar processen.

Om  $\hat{P} = P$  kommer överföringsfunktionen från  $X_B$  till  $X$  att bli

$$X(t) = M \cdot X_B(t)$$

Regulatorn R har även till uppgift att i möjligaste mån ta hand om felet beroende på den ofullständiga kännedomen om processen (P), dvs om  $\hat{P} \neq P$ .

Som bas i vår konstruktion av en systemreglering ansätter vi

$$M = \frac{z^{-3} (1 + a)}{1 + a z^{-1}}$$

$z^{-3}$  representerar fördröjningen i systemet och hållkretsen.

I vårt fall ges P av

$$P = \frac{K \alpha \cdot z^{-3} (1 + \gamma z^{-1})}{(1 - z^{-1})(1 - \beta z^{-1})}$$

$$K = 60$$

$$\alpha = 0.0027$$

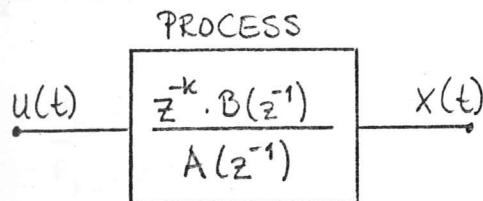
$$\beta = 0.513$$

$$\gamma = 0.801$$

I denna konstruktion kommer endast R att kopplas in då det finns störningar och om processen är ofullständigt känd.

Vi provar med en dead-beat-regulator.

### Konstruktion av dead-beat-regulator



Bestäm en styrlag sådan att utsignalen blir noll efter så få samplingsintervall som möjligt.

Inför identiteten.

$$1 \equiv A(z^{-1}) \cdot F_{k-1}(z^{-1}) + z^{-k} \cdot G_{n-1}(z^{-1})$$

$$\text{där } A(z^{-1}) = 1 + a_1 z^{-1} + \dots + a_n z^{-n}$$

$$\text{och } B(z^{-1}) = b_0 + b_1 z^{-1} + \dots + b_n z^{-n}, \quad b_0 \neq 0$$

graden av  $F_{k-1}$  och  $G_{n-1}$  är  $k-1$  resp  $n-1$

d v s

$$F_{k-1}(z^{-1}) = 1 + f_1 z^{-1} + \dots + f_{k-1} z^{-(k-1)}$$

$$G_{n-1}(z^{-1}) = g_0 + g_1 z^{-1} + \dots + g_{n-1} z^{-(n-1)}$$

Identifiering av koefficienterna ger följande:

$$0 = a_1 + f_1$$

$$0 = a_2 + a_1 f_1 + f_2$$

o

o

o

$$0 = a_{k-1} + a_{k-2} f_1 + \dots + a_1 f_{k-2} + f_{k-1}$$

o  
o  
o

$$0 = a_n f_{k-2} + a_{n-1} f_{k-1} + g_{n-2}$$

$$0 = a_n f_{k-1} + g_{n-1}$$

Då gäller att

$$\begin{aligned} X(t) &= A(z^{-1}) \cdot F_{k-1}(z^{-1}) X(t) + z^{-k} G_{n-1}(z^{-1}) X(t) \\ &= z^{-k} (F_{k-1}(z^{-1}) B(z^{-1}) U(t) + G_{n-1}(z^{-1}) X(t)) \end{aligned}$$

$$\text{Om } U(t) = - \frac{G_{n-1}(z^{-1})}{F_{k-1}(z^{-1}) B(z^{-1})} \cdot X(t)$$

Då fel regleras är

$$- X(t) \cdot R = U \quad (\text{Se fig 3.2.1})$$

$$R = \frac{G_{n-1}(z^{-1})}{F_{k-1}(z^{-1}) B(z^{-1})}$$

I vårt fall är  $K = 3$

$$B(z^{-1}) = K \alpha (1 + \gamma z^{-1})$$

$$\gamma = 0.801$$

$$K \alpha = 0.162$$

Ur identiteten erhålles

$$1 = (1 - 1.513z^{-1} + 0.513z^{-2}) (1 + f_1 z^{-1} + f_2 z^{-2}) + z^{-3} (g_0 + g_2 z^{-1})$$

Efter identifieringen erhålles

$$R = \frac{(11.8037 - 5.6247z^{-1})}{1 + 2.314z^{-1} + 2.9881z^{-2} + 1.4227z^{-3}}$$

I modellen som ansattes väljes  $a = -0.6$ . Systemet simulerades med  $X_B = 1.0$ .  $X$  plottades (se fig 3.2.2). Som synes ripplar den kontinuerliga utsignalen kraftigt. Det visade sig att styrsignalerna till servot var större än 1.0 i början av samplingen. Modifiering av systemet måste göras. Värdet på  $a$  ändrades till  $-0.8$ . Utsignalen då insignalen är ett steg visas i fig 3.2.3. Ripplet har avtagit men styrsignalerna till servot var fortfarande stora.

För att se hur dead-beat-regulatorn reglerar, exempelvis ett initialvärdesfel då insignalen är 0, simulerades även detta, se fig 3.2.4. Utsignalen blir fort noll i samplingspunkterna men rippelar mellan dessa. Ytterligare modifiering måste göras för att de förutbestämda specifikationerna skall uppfyllas.

Modellen väljes nu av andra ordningen och dead-beat-regulatorn utbytes mot det nominella fasavancerande filtret som användes i kap 3.1.

Följande val och ansats göres:

$$R = \frac{1.235 - 0.633z^{-1}}{1 + 0.802z^{-2}}$$

$$M = \frac{z^{-3} (1 + a_1 + a_2)}{1 + a_1 z^{-1} + a_2 z^{-1}}$$

Karakteristiska ekvationen för modellen väljes till

$$z^2 - 1.6z + 0.6625 = 0$$

$$a_1 = -1.6 \text{ och } a_2 = 0.6625$$

Utsignalens stegsvar och reglering av initialvärdesfel, se fig 3.2.5 resp 3.2.6.

Översving erhålles i båda fallen, varför den slutliga modifieringen ger följande utseende på modell och regulator.

$$M = \frac{z^{-3} \cdot 0.0725}{1 - 1.5z^{-1} + 0.5725 z^{-2}}$$

$$R = \frac{0.6175 - 0.3165 z^{-1}}{1 + 0.802 z^{-1}}$$

Samma simulering som ovan, se fig 3.2.7 resp 3.2.8. Stegsvaret är jämnt och uppfyller tidsspecifikationerna. Insignalen till servot är relativt liten. Felregleringen är också relativt fri från rippel.

Med valen ovan har variation gjorts på processens parametrar, resultat se fig 3.2.9 och 3.2.10.

Det är intressant att jämföra de olika modellernas karakteristiska ekvation, dvs jämföra nollställena till ekvationerna. Det visade sig att nollställenas placering inom enhetscirkeln i  $z$ -planet är av stor vikt. Vid placeringen av nollställena har man stor hjälp av fig 3.2.12.

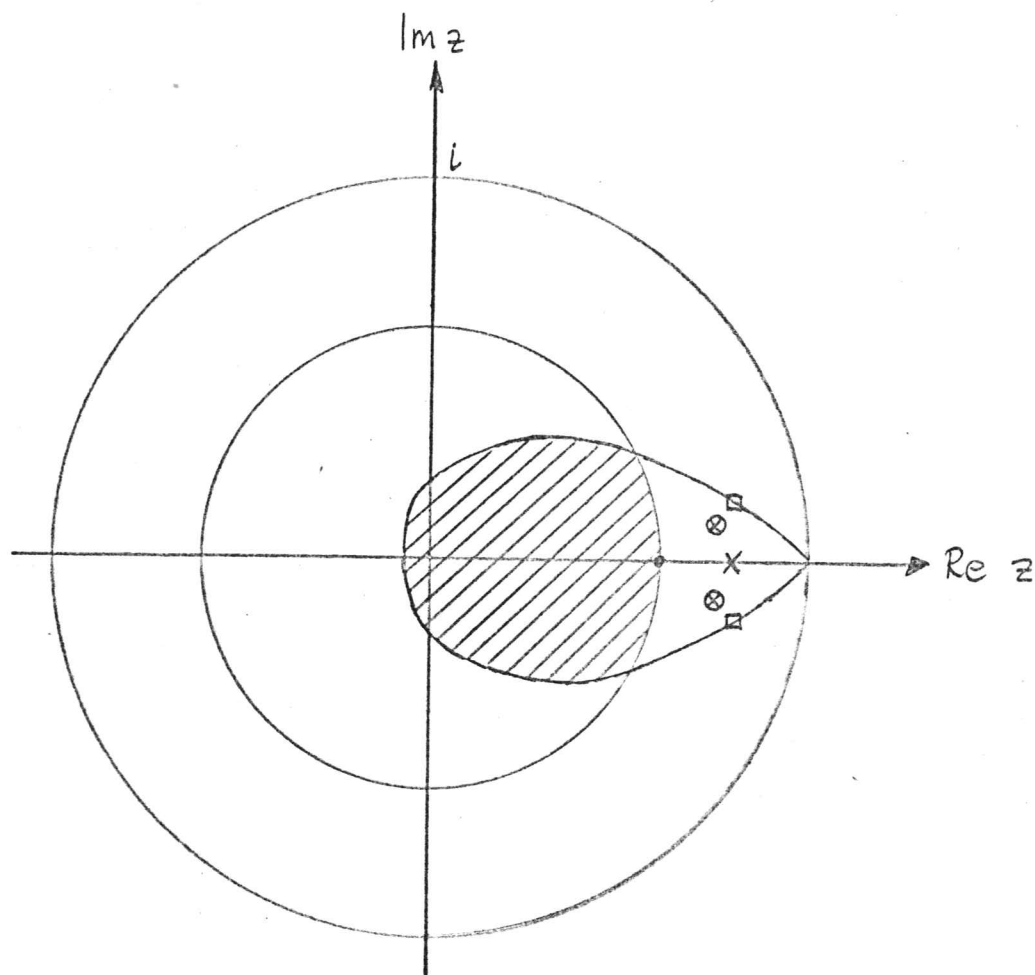


Fig 3.2.12  
Polplaceringsdiagram

Om man placerar ett komplext par av nollställena inom det streckade området och alla övriga nollställena inom det heldragna området erhålles ett översvängningsfritt stegsvar. Systemets rippel beror på hur stora styrsignaler man ställer ut på servot, dvs desto större styrsignaler desto större rippel. Ripplet beror även på vilket avstånd från origo nollställena (polerna) ligger. Då gäller att ju mindre avståndet är ju mera rippel utsignalen.



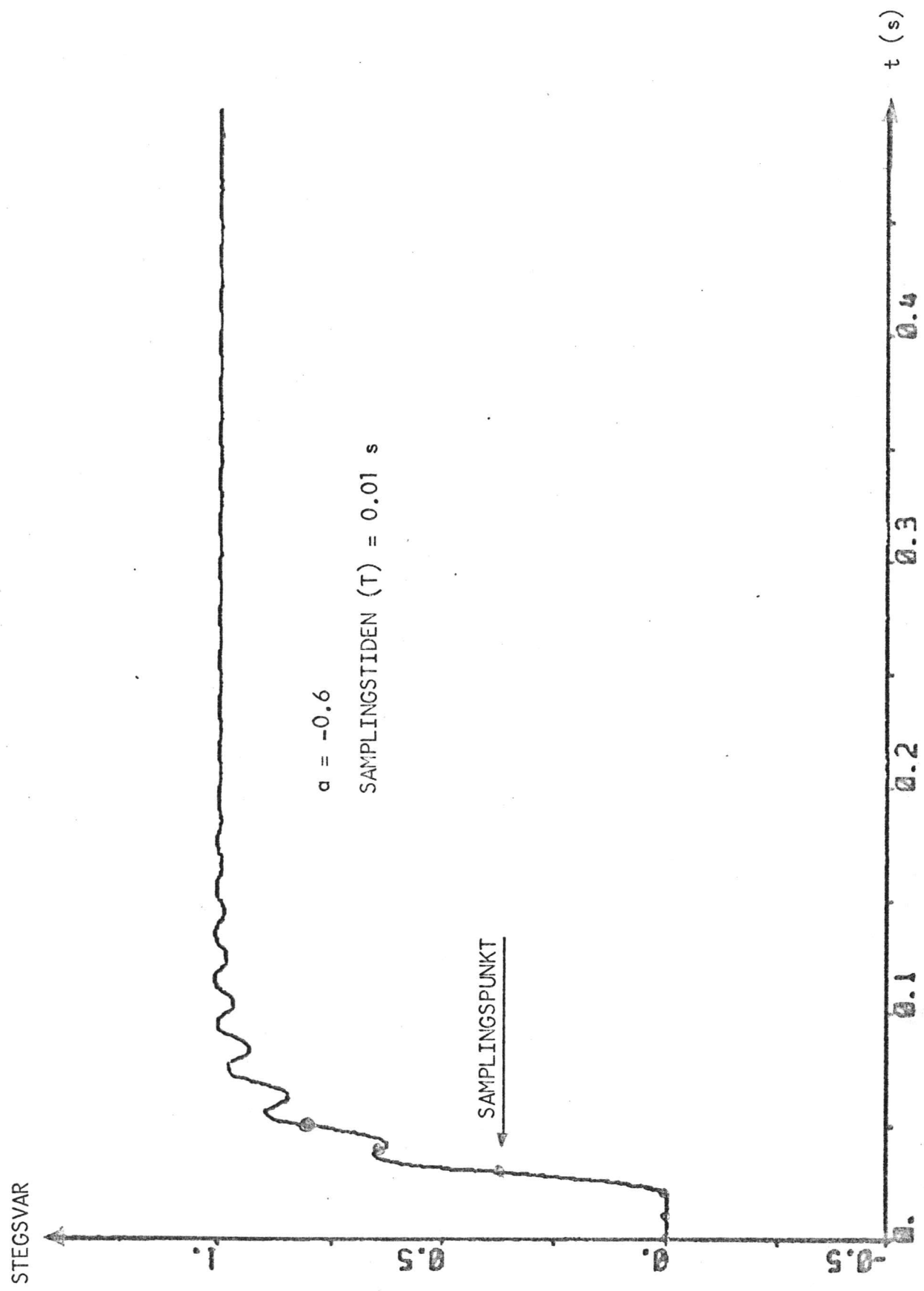
De olika modellernas nollställen till den karakteristiska ekvationen är markerade i fig 3.2.12. Samtliga modeller har en dubbelrot i origo.

$z = 0.6$	Markeras med	●
$z = 0.8$	"-	x
$z^2 - 1.6z - 0.6625 = 0$	"-	□
$z_{1, 2} = 0.8 \pm i 0.15$	"-	□
$z^2 - 1.5z + 0.5725 = 0$	"-	⊗
$z_{1, 2} = 0.75 \pm 0.1 i$	"-	⊗

Stegsvarets snabbhet påverkas också då nollställena flyttas ut i det komplexa z-planet.

Avslutningsvis kan sägas att denna metod kan användas generellt. I vårt fall behövs någon extra programmering göras (se bilaga 1)

PLOT Y1



3.2.2

PLOT Y1

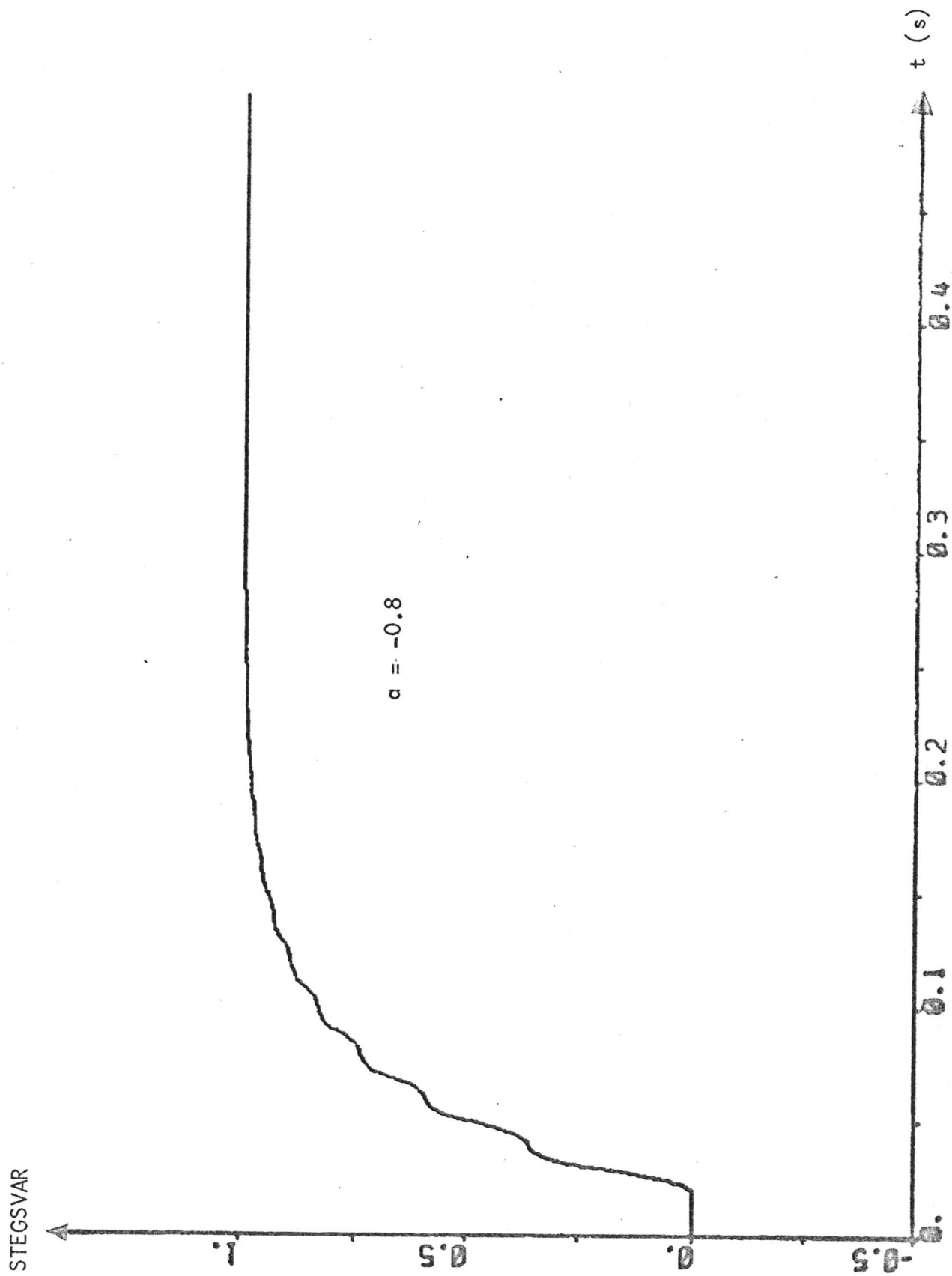


Fig 3.2.3

PLOT U1PROCJ  
PLOT Y1 YREF

SVAR PÅ INITIALVÄRDESFEL

DEAD-BEAT-REGULATOR

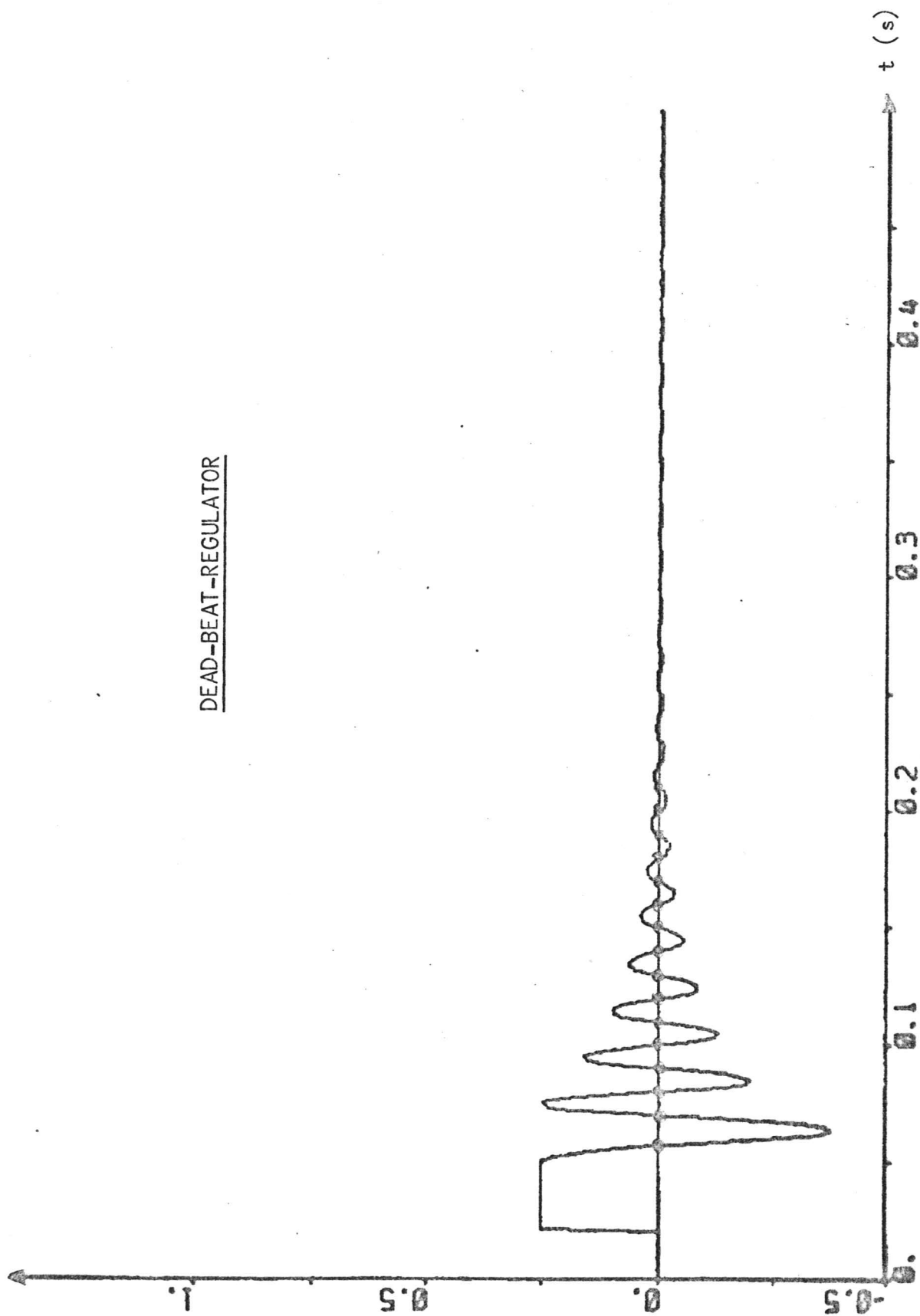


Fig 3.2.4

PLOT Y1  
PLOT Y1 YREF

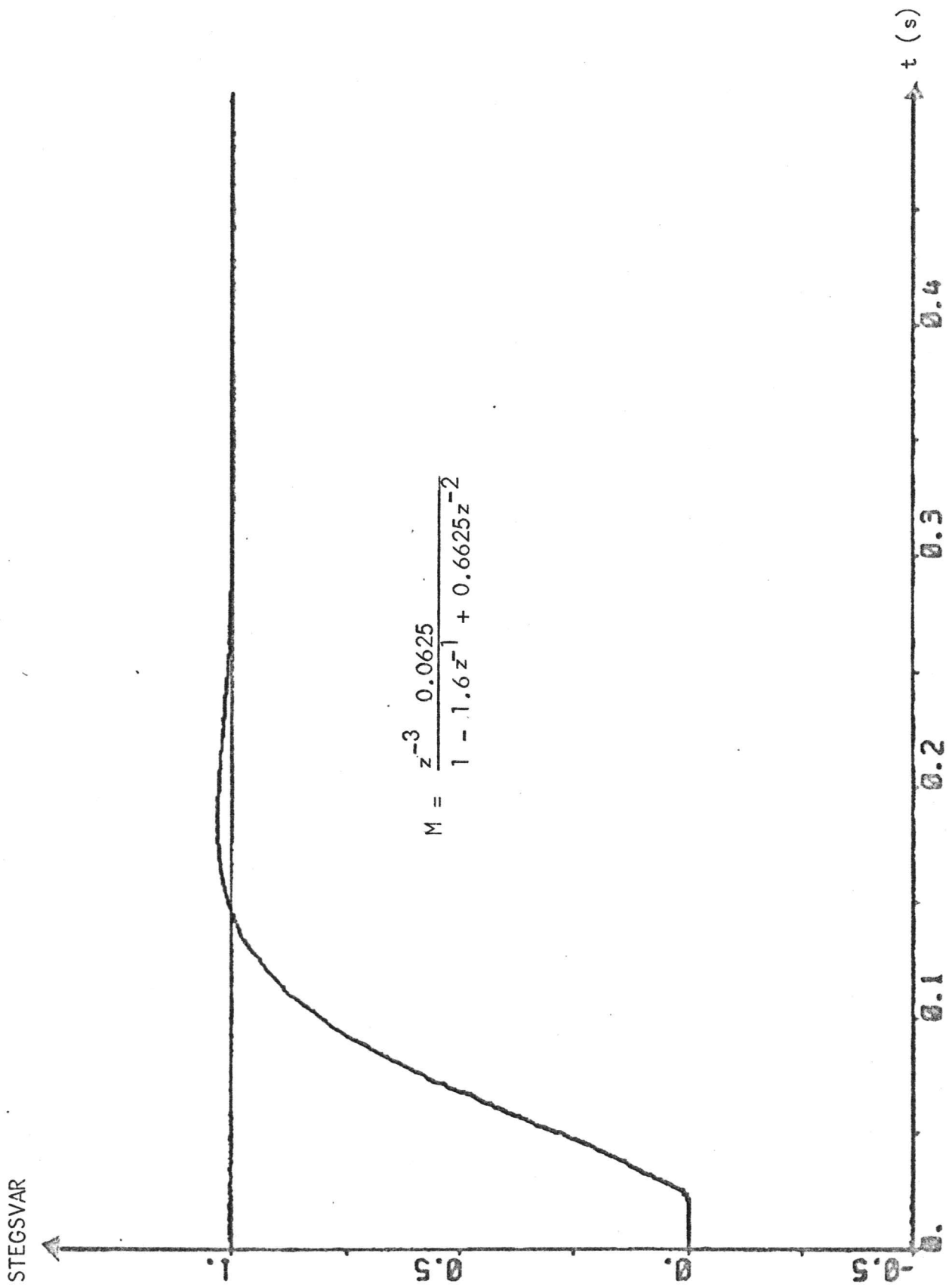


Fig 3.2.5

## PLOT Y1 YREF

SVAR PÅ INITIALVÄRDESFEL

$$R = \frac{1.235 - 0.633z^{-1}}{1 + 0.802z^{-1}}$$

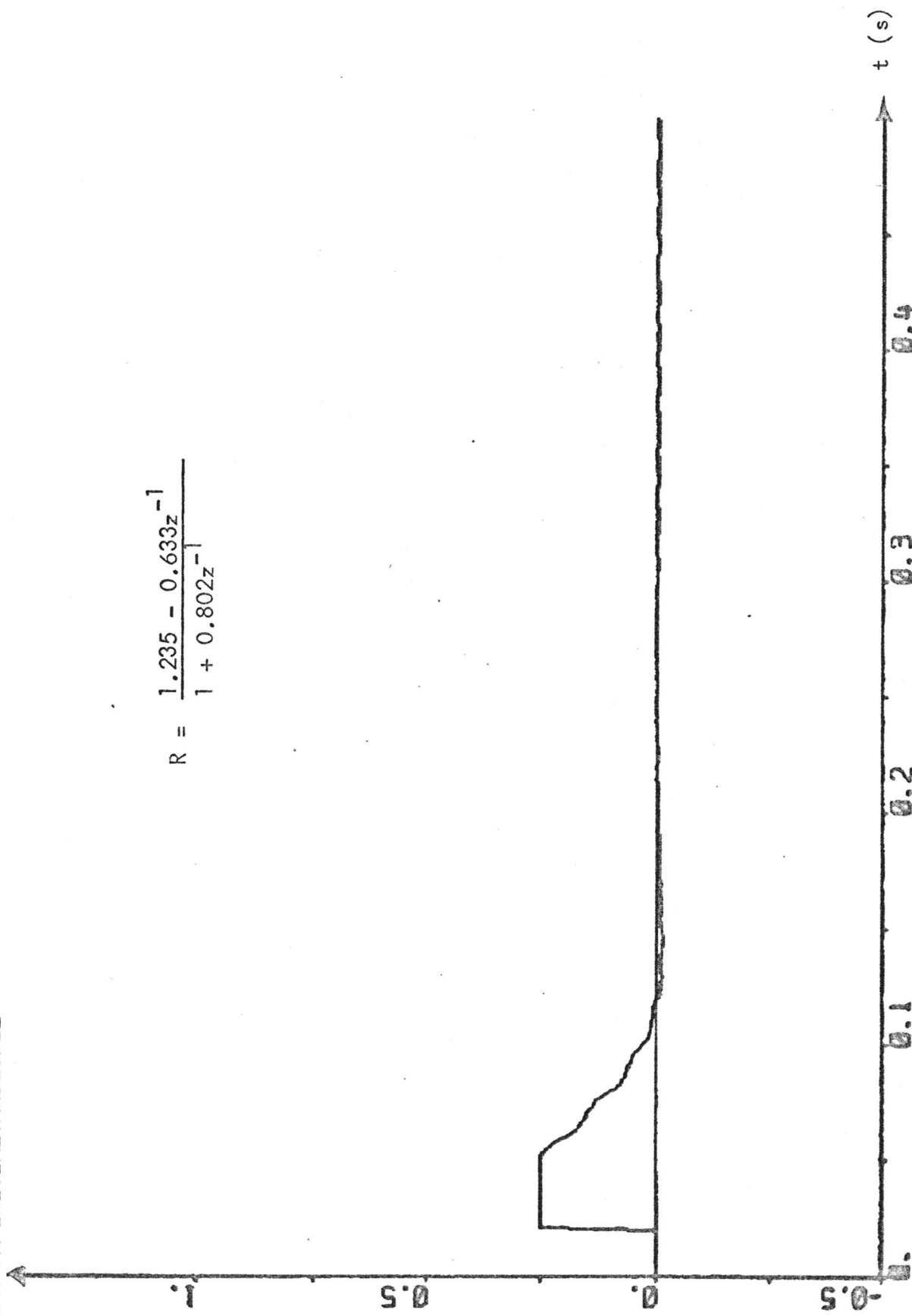


Fig 3.2.6

PLOT Y1 YREF  
 AM1[MODJ]=-1.5  
 PLOT U[PROCJ]  
 AM2[MODJ]=0.5725

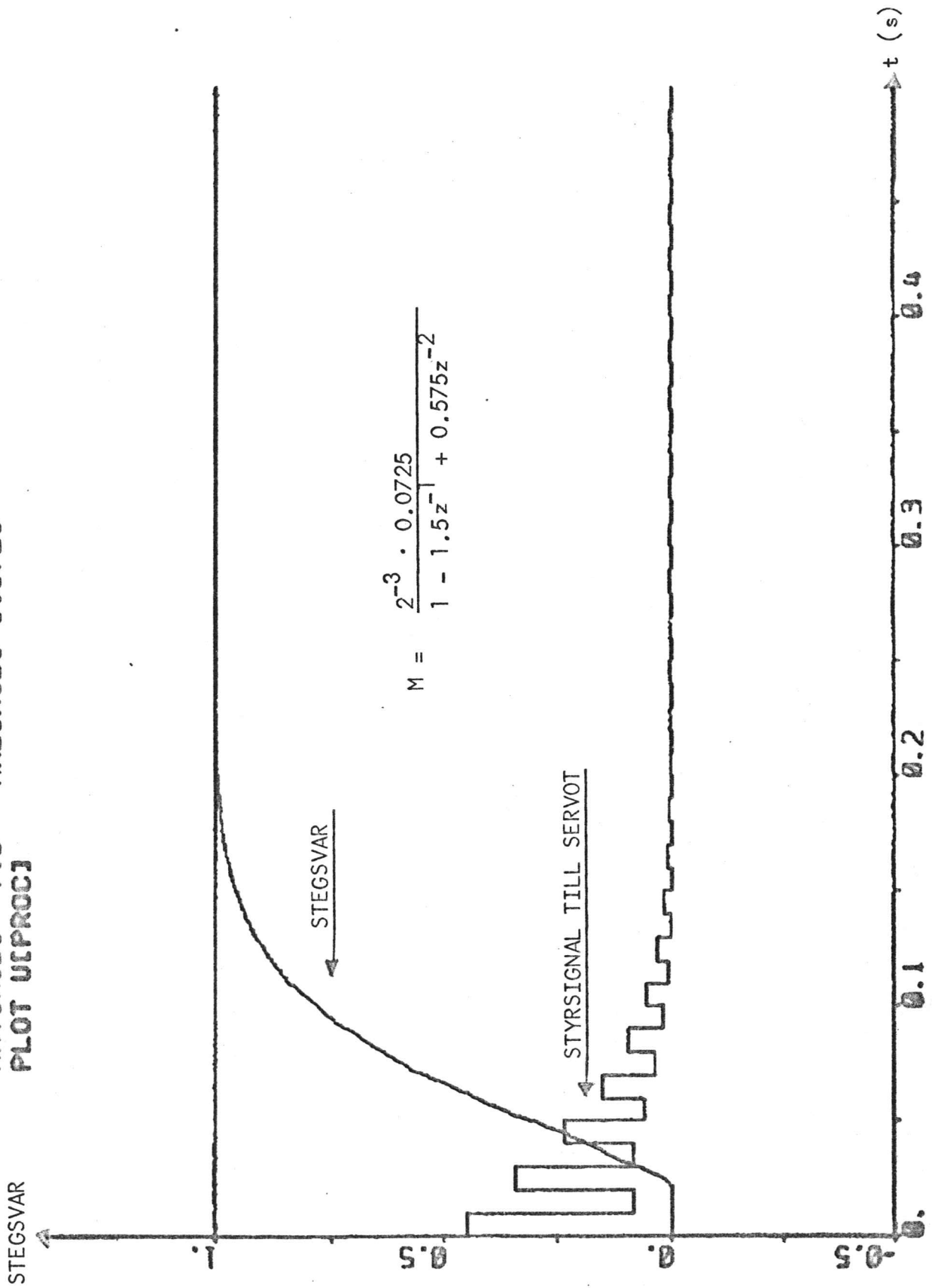


Fig 3.2.7

PLOT Y1 YREF  
PLOT UIPROCJ

$$R = \frac{0.6175 - 0.3165z^{-1}}{1 + 0.802z^{-1}}$$

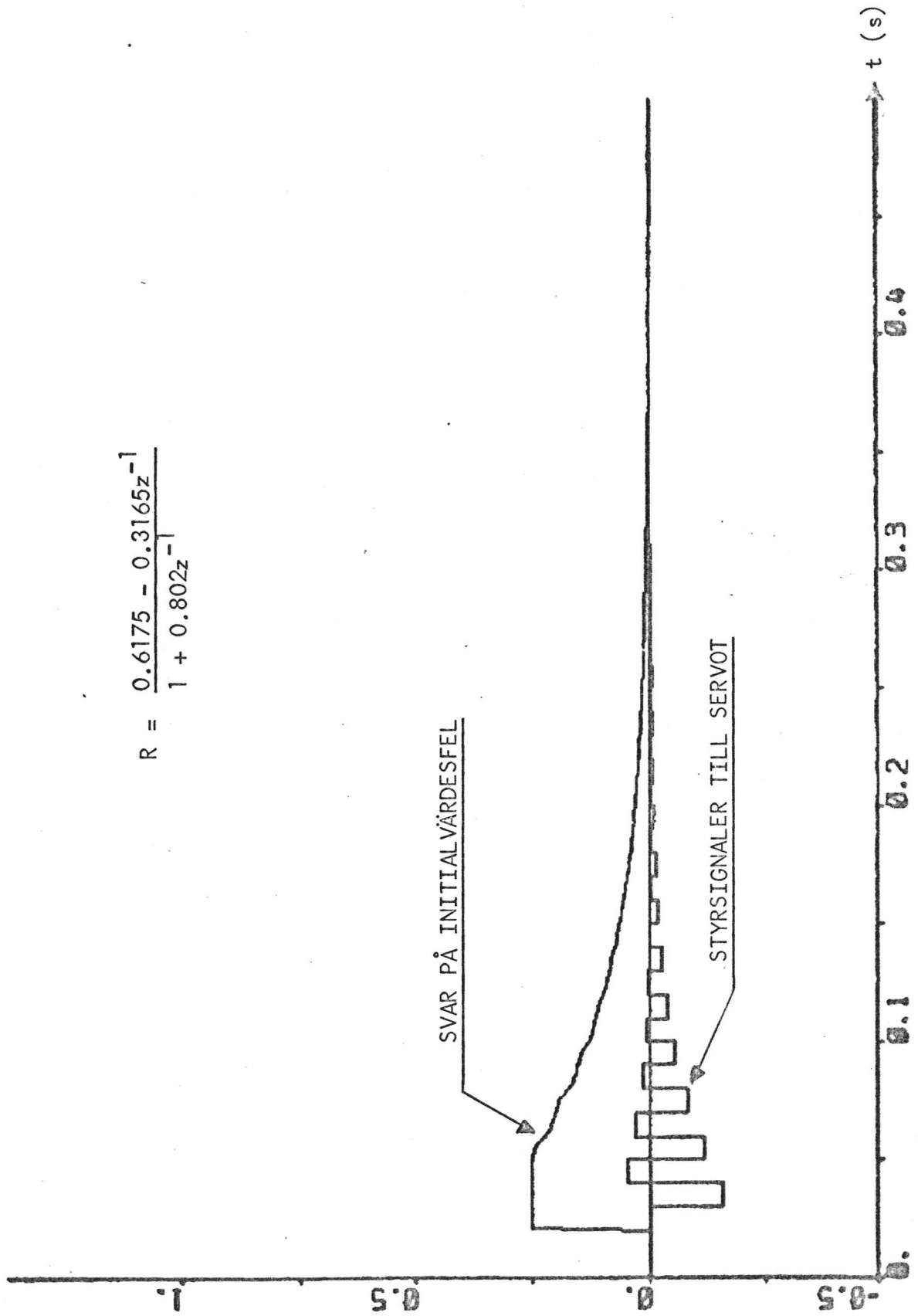


Fig 3.2.8



## PLOT Y1 YREF

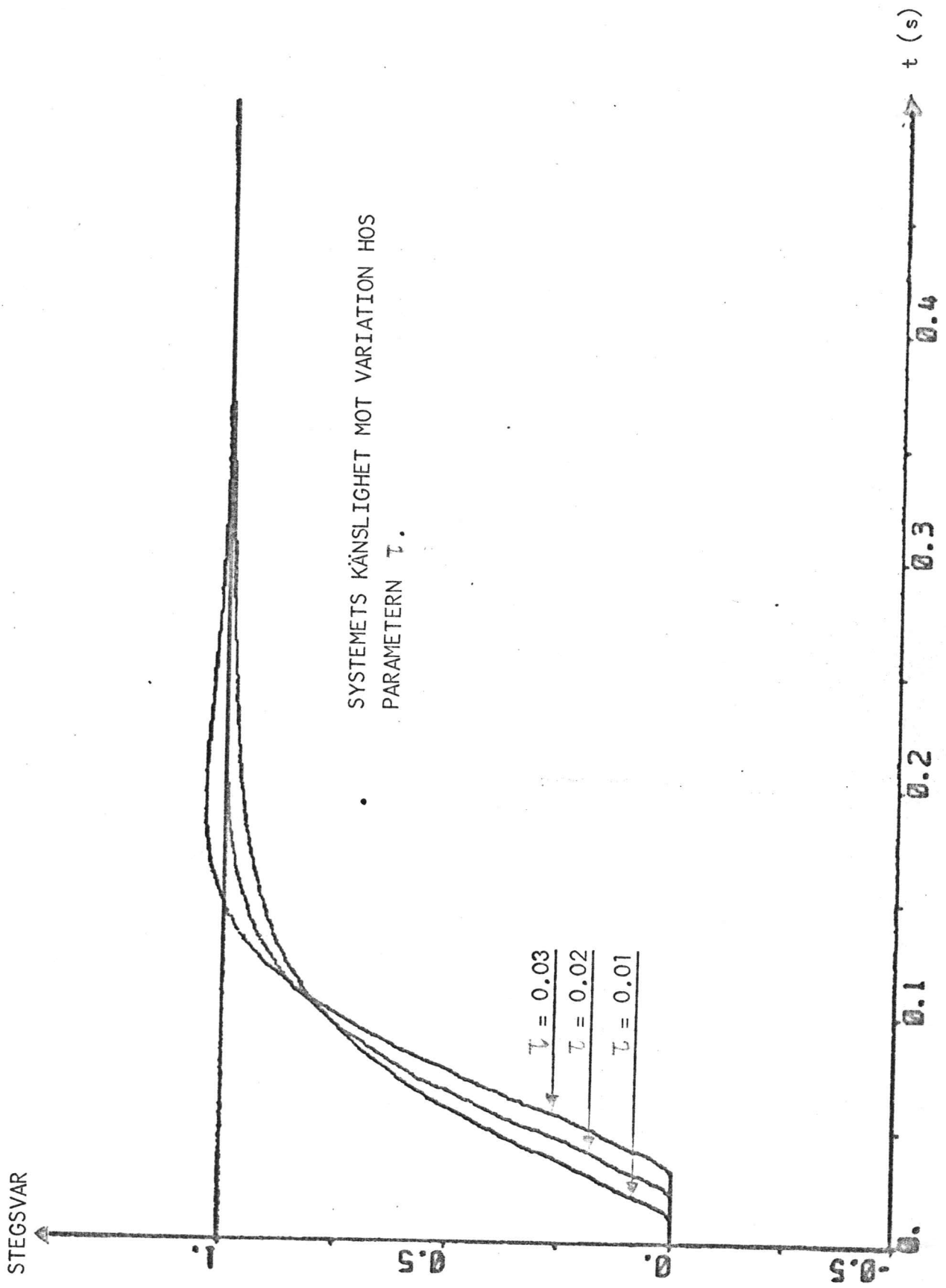


Fig 3.2.9

PLOT UIPROCJ  
PLOT Y1 YREF

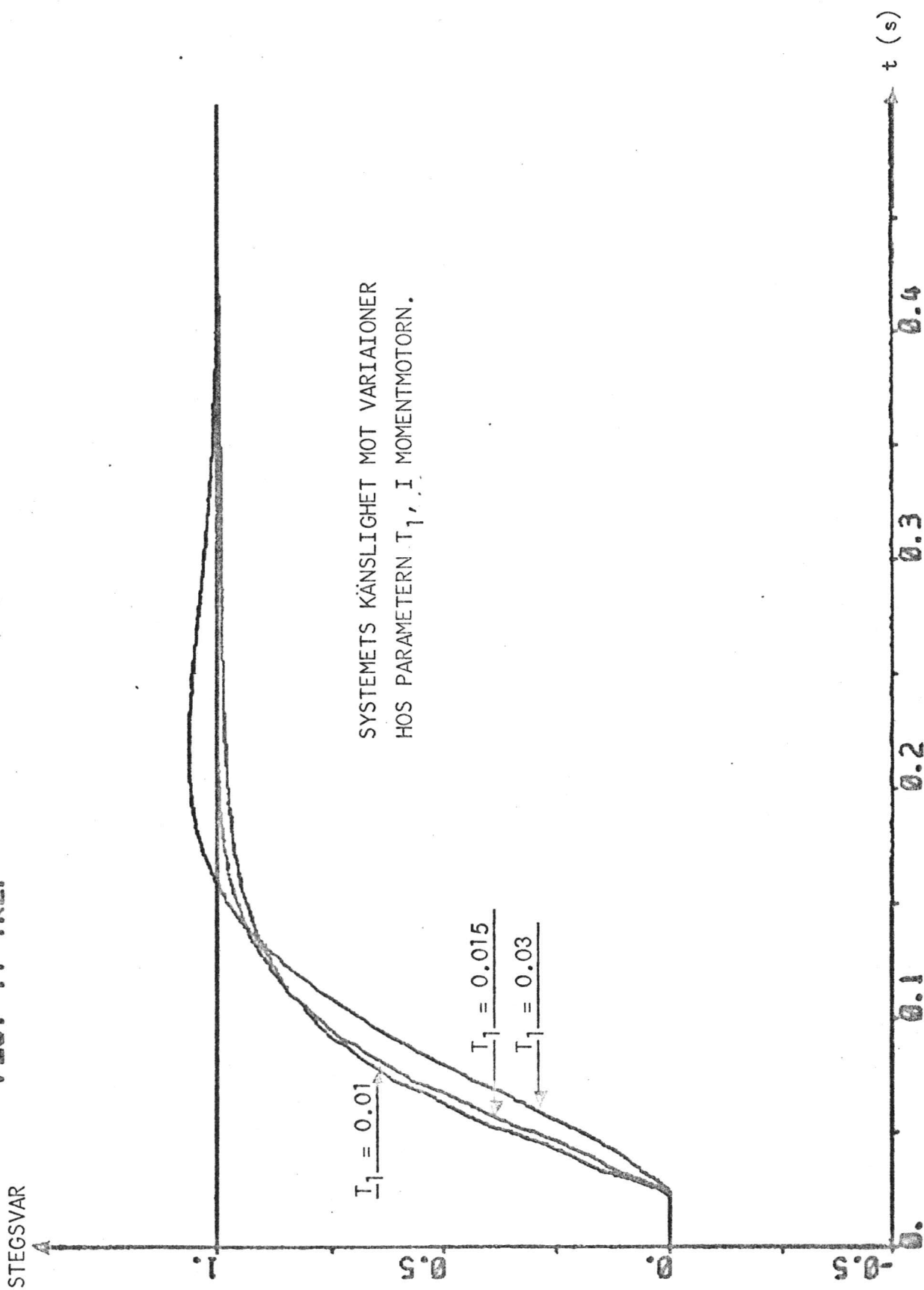
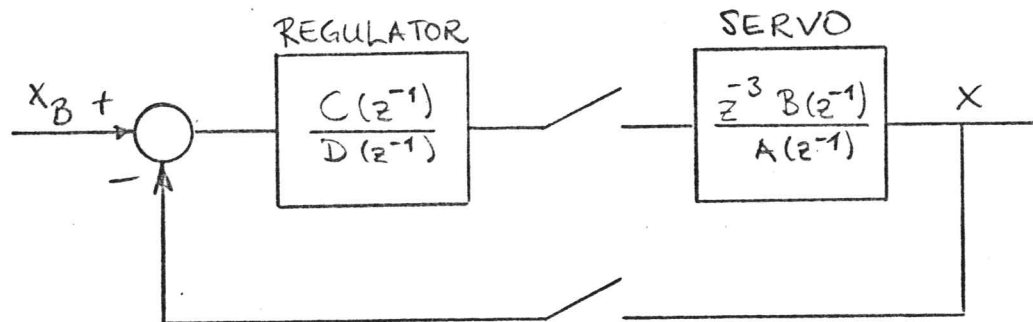


Fig 3.2.10

## 3.3 POLPLACERING GENOM DIREKT ÅTERKOPPLING.

Arbetsmetod

Systemet kan representeras enligt blockschema nedan.



$$B(z^{-1}) = K\alpha (1 + \gamma z^{-1})$$

$$K = 60$$

$$\alpha = 0.0027$$

$$\gamma = 0.801$$

$$A(z^{-1}) = (1 - z^{-1})(1 - \beta z^{-1})$$

$$\beta = 0.513$$

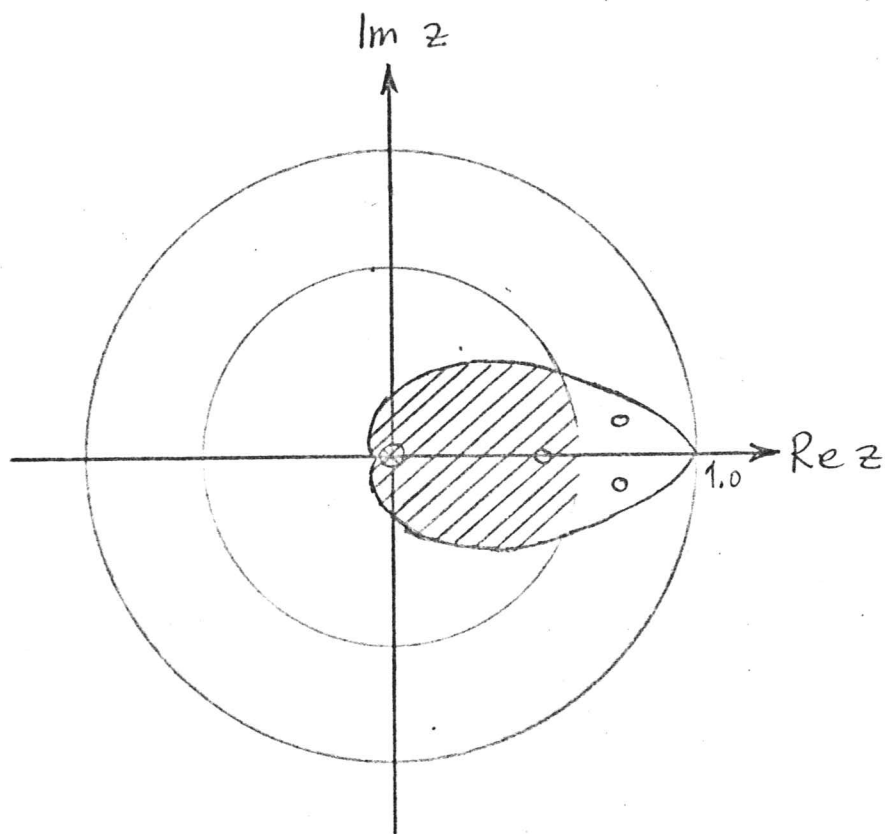
$z^{-3}$  representerar fördröjningen och hållkretsen.  
Det slutna systemets överföringsfunktion ges av

$$\frac{z^{-3} \cdot B(z^{-1}) \cdot C(z^{-1})}{A(z^{-1}) \cdot D(z^{-1}) + z^{-3} \cdot B(z^{-1}) \cdot C(z^{-1})}$$

Ansätt att systemets karakteristiska ekvation är  $F(z^{-1})$ , dvs  $F(z^{-1}) = A(z^{-1})D(z^{-1}) + z^{-3}B(z^{-1})C(z^{-1})$ .

Nollställena till  $F$ -polynomet väljes sedan på ett sådant sätt att stegsvaret blir rippelfritt och översvängningsfritt samtidigt som önskad snabbhet erhålles.

Nollställena till  $F$  får ett gynnsamt läge ur stegsvarssynpunkt om ett komplext par av nollställen placeras inom det streckade området och om övriga nollställen ligger inom det heldragna området. Se fig 3.3.1.



Nollställena till kar ekv är markerade med cirklar.

I vårt fall är ordningen av A och B två respektive ett. Om G och D är av ordningen ett resp tre då erhålles ett ekvations-system så att vi kan bestämma de okända koefficienterna i C och D.

Antas följande ekvationer.

$$A(z^{-1}) = 1 + a_1 z^{-1} + a_2 z^{-2}$$

$$B(z^{-1}) = b_0 + b_1 z^{-1}$$

$$C(z^{-1}) = c_0 + c_1 z^{-1}$$

$$D(z^{-1}) = 1 + d_1 z^{-1} + d_2 z^{-2} + d_3 z^{-3}$$

$$F(z^{-1}) = 1 + f_1 z^{-1} + f_2 z^{-2} + f_3 z^{-3} + f_4 z^{-4} + f_5 z^{-5}$$

Genom identifiering av koeff. i sambandet  $F(z^{-1}) = A(z^{-1}) D(z^{-1}) + z^{-3} B(z^{-1}) C(z^{-1})$  erhålles följande

$$f_1 = d_1 + a_1$$

$$f_2 = a_2 + d_1 a_1 + d_2$$

$$f_3 = d_3 + a_1 d_2 + a_2 d_1 + b_0 c_0$$

$$f_4 = a_1 d_3 + a_2 d_2 + b_0 c_1 + b_1 c_0$$

$$f_5 = a_2 d_3 + b_1 c_1$$

Valet av nollställena till  $F$  göres med hjälp av fig 3.1. Systemet visar sig ha ett mycket bra uppförande om  $F$  väljes till

$$\begin{aligned} F(z^{-1}) &= (1 - 1.5z^{-1} + 0.5725z^{-2})(1 - 0.5z^{-1}) = \\ &= (1 - 2z^{-1} + 1.3225z^{-2} - 0.28625z^{-3}) \end{aligned}$$

Karakteristiska polynomet har en dubbelrot  $z_{1,2} = 0.75 \pm i 0.1$ , en dubbelrot i origo samt en rot i  $z = 0.5$  (se fig 3.3.1). Systemet får ett utmärkt uppförande med detta val av nollställena.

Testresultatet följer härnäst och avslutas med en sammanfattning. Se fig 3.3.2 - 3.3.6.

Som synes i fig 3.3.2 har utsignalen ingen tendens till rippel. Styrsignalerna till servot är små, samt kraven på snabbhet och förstärkning är uppfyllda.

I fig 3.3.3 visas stegsvarets förändring då systemets förstärkning varieras. Utsignalerna är i alla fallen rippelfria.

Fig 3.3.4 och 3.3.5 samma som under punkt 3.1 och 3.2.

För denna regulator kan genomgående sägas att den ger en jämn (rippelfri) reglering av arean samt små styr signaler till servot. Ur slitagesynpunkt är denna reglering utmärkt.

Övriga specifikationer är helt uppfyllda.

PLOT YREF Y1 U08  
F1=-2. F2=1.322 F3=-0.2863 F4=0. F5=0.

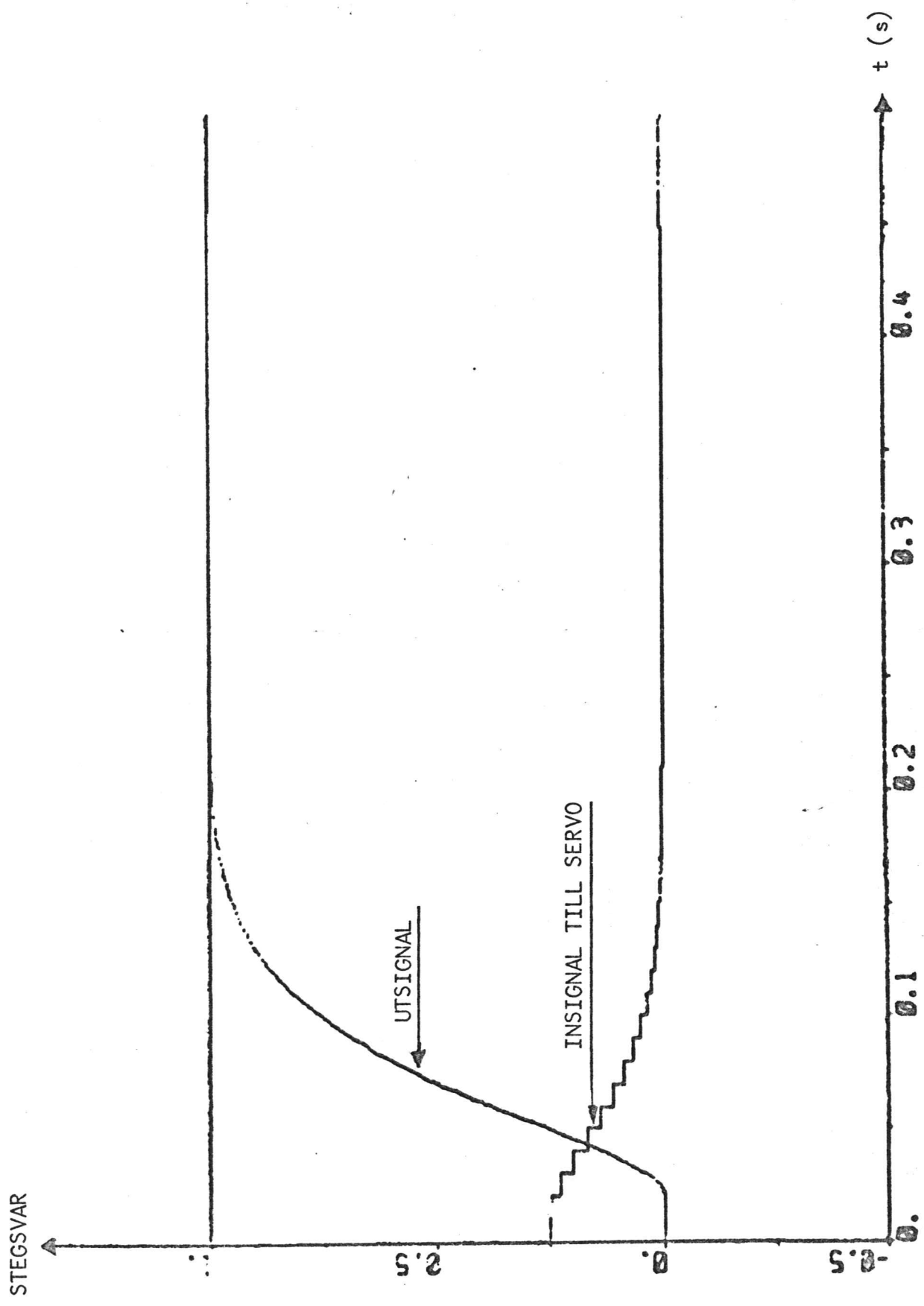


Fig 3.3.2

PLOT Y1 YREF  
K=75.  
K=60.  
K=45.

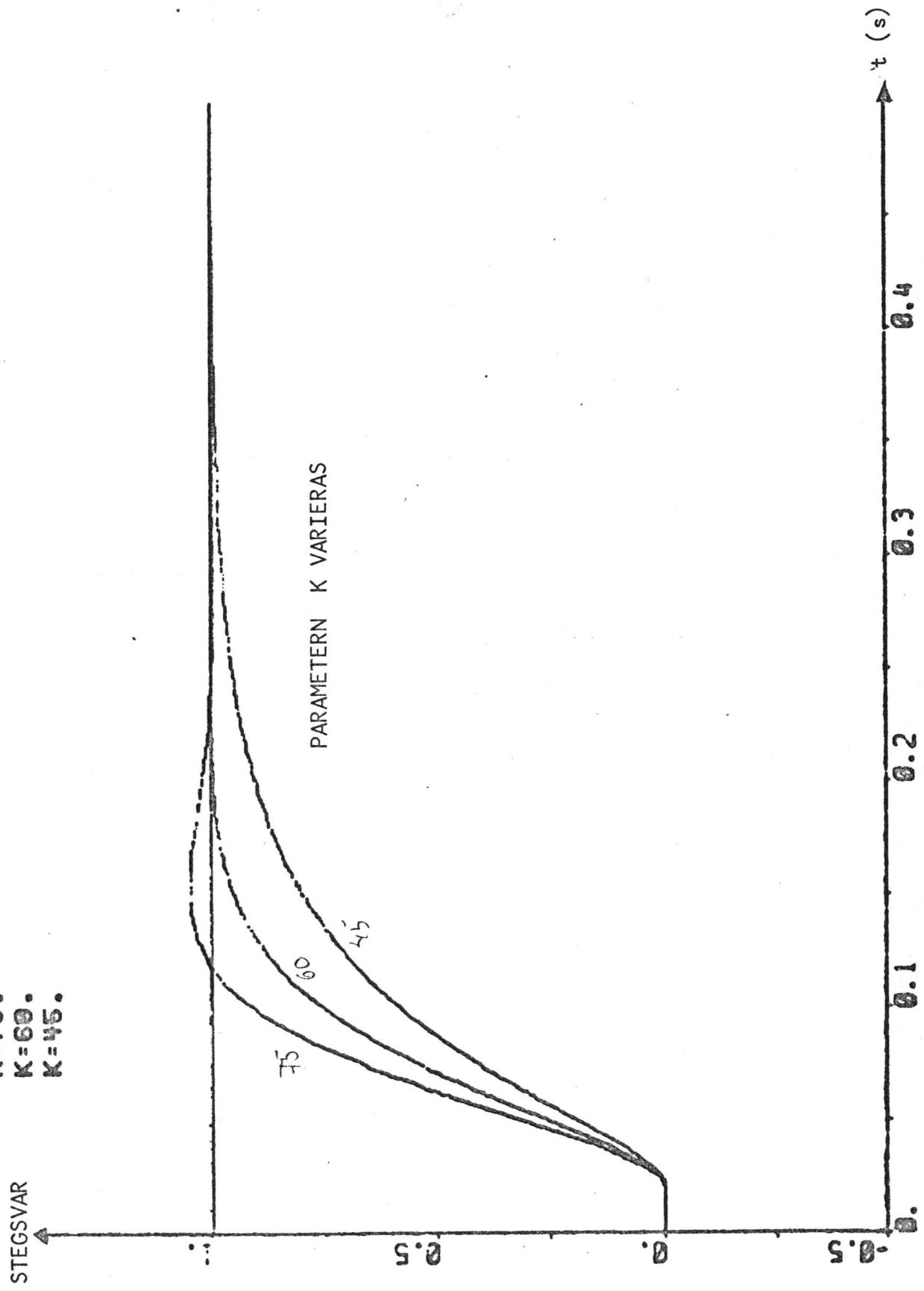
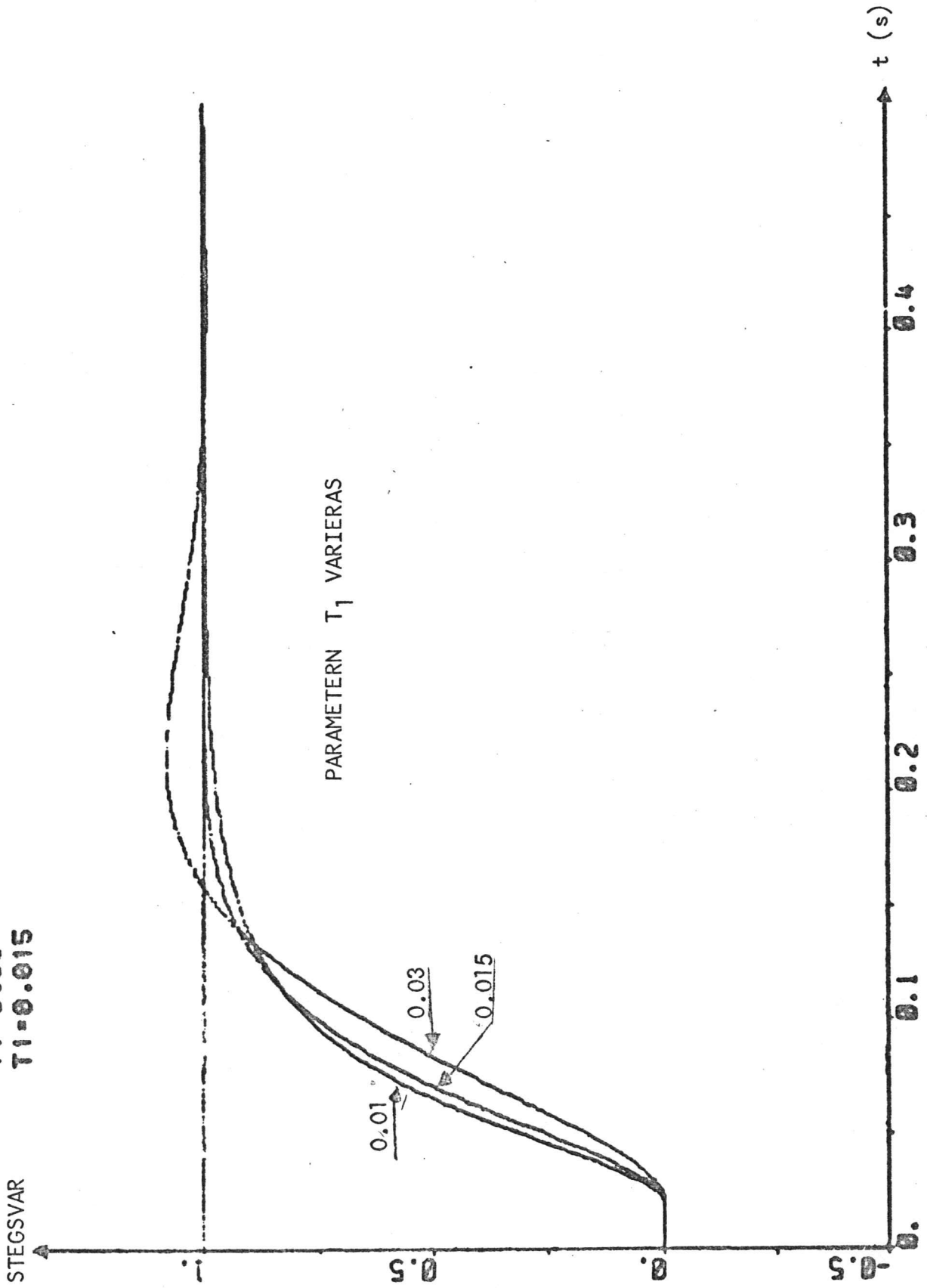


Fig 3.3.3

PLOT Y1 YREF  
 T1=0.01  
 T1=0.03  
 T1=0.015

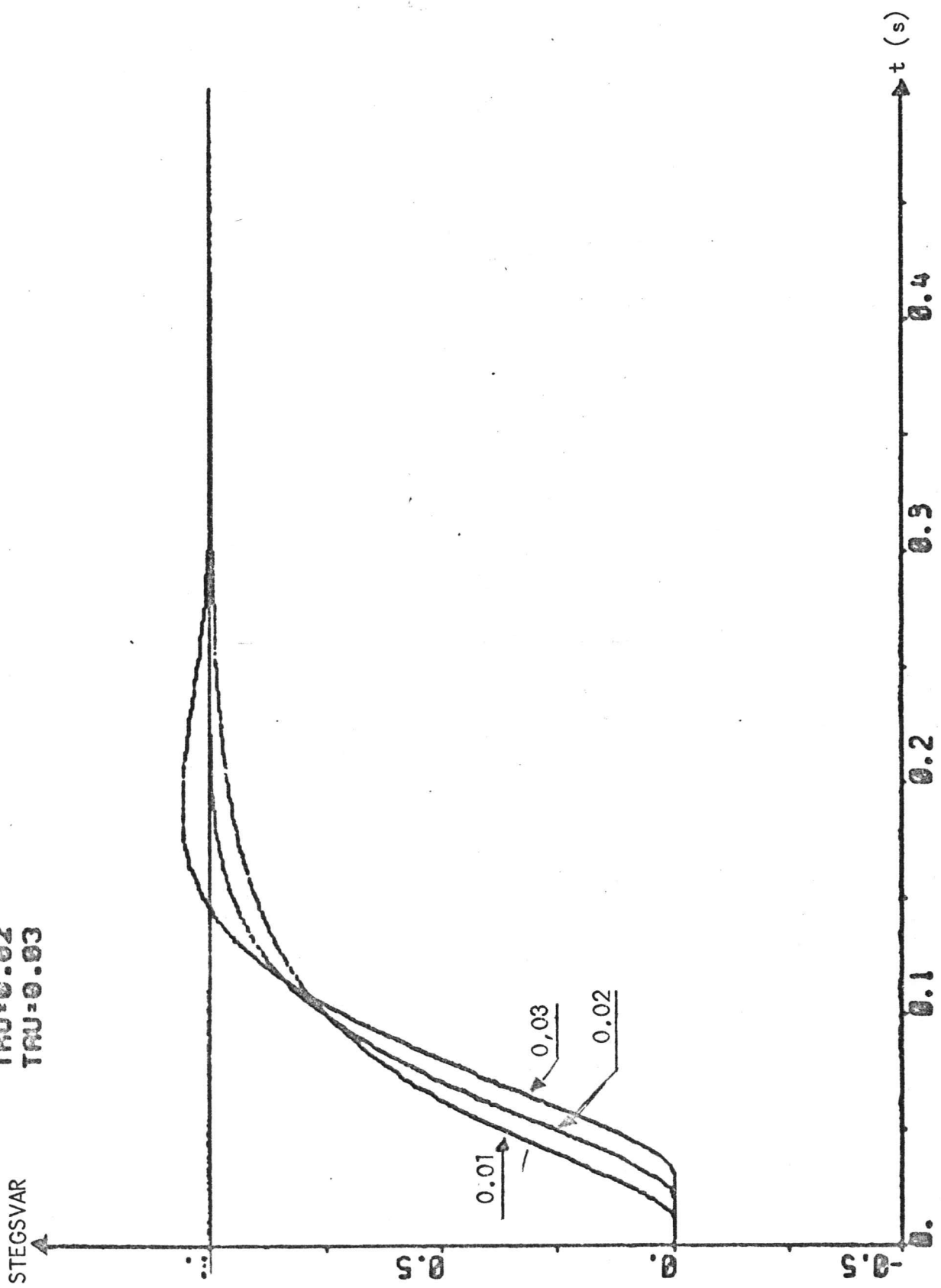


SYSTEMETS KÄNSLIGHET DÅ  $T_1$  VARIERAS.

Fig 3.3.4



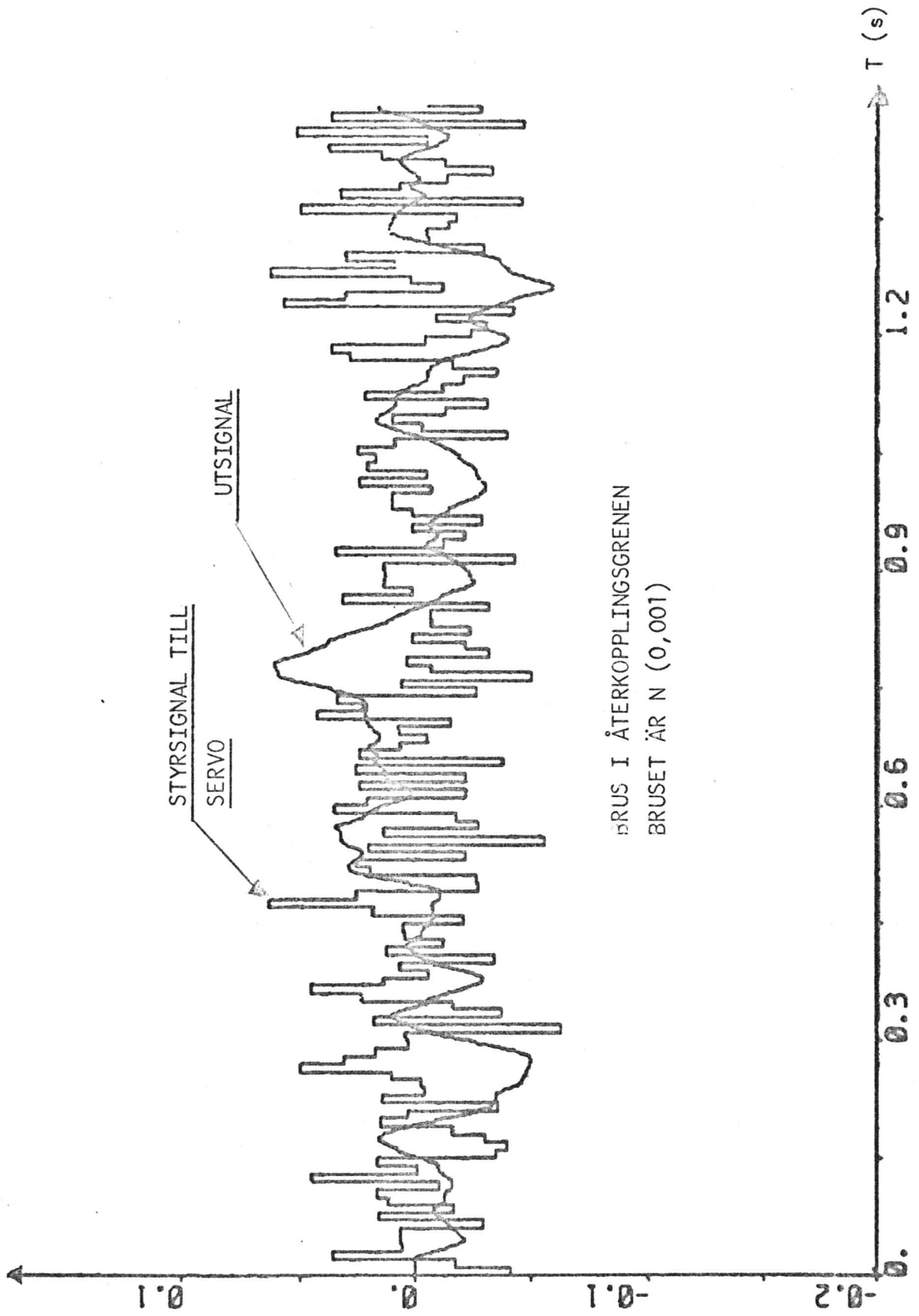
PLOT Y1 YREF  
 TRAU=0.01  
 TRAU=0.02  
 TRAU=0.03



SYSTEMETS KÄNSLIGHET MOT VARIATION AV  $\tau$ .

Fig 3.3.5

PLOT Y1 UDS



BRUS I ÅTERKOPPLINGSGRENNEN  
BRUSET ÄR N (0,001)

Fig 3.3.6

#### 4. SAMMANFATTNING

Reglerprincipen, vilken presenteras i kap 3.1.1 ger överlag för stora styrsignaler till servot vilket medför att utsignalen ripplar.

Metoden i kap 3.2 uppfyller de specificerade kraven, men vissa programmeringsförändringar måste göras innan den kan användas.

Den sista metodens enkelhet och rika möjligheter att välja lämplig ordning på regulator måste särskilt framhållas. Med tanke på fortsatt utvecklingsarbete i samband med prov på motorn kommer metodens flexibilitet väl till pass. Ändringar som behöver göras är enkla att införa med hänsyn till programmet.

Som framgår i rapporten är regleringarna anpassade till en viss modell av servot, vilket kan komma att medföra att regleringen på det verkliga systemet ej uppfyller de specificerade kraven. Detta får till följd att om t ex metoden i kap 3.3 användes kommer både koefficienterna i polynomen  $C(z^{-1})$  och  $D(z^{-1})$  och ordningen på filtret att behöva ändras.

Avslutningsvis vill jag rikta ett varmt tack till mina handledare Gerry Örnberg och Björn Wittenmark, vilka båda på ett utmärkt sätt hjälpt mig i mitt arbete.

## 5. REFERENSER

Huvudmaterialet till reglerschemat har erhållits från Volvo Flygmotor samt Moog Technical Bulletin 103.

Utförlig presentation av reglerprinciperna för samplade system ges i

K J Åström: Samplade system.

B Wittenmark: Design of a sampled data system.

Var polerna i enhetscirkeln skall placeras har hämtats ur

Ackermann: Abtast reglerung.

Simuleringen har gjorts vid LTH och simuleringsprogrammet som användes var

Simnon: Elmquist U: Simnon, User's Manual, Report 7502.

Programbeskrivning för areaservo

Areaservots struktur samt de i programmet använda beteckningarna för de olika signalerna presenteras i figuren B1-1.

Nedan följer en kort beskrivning av huvudprogrammet MAIN och subrutinerna, vilka finns utskrivna på sidorna 4-11.

Huvudprogrammet läser först in all indata, varefter subrutinen INITS anropas. INITS ger servoparametrarna korrekta startvärden. Därefter anropas subrutinen HEAIN, vilken redigerar och trycker ut indata. Sista delen av MAIN utför själva servoberäkningen.

BOX 1A2 representerar momentmotor, manövercylindrar och effekten av samplingen genom en nollte ordningens hållkrets (ZOH i figur B1-1).

BOX 3 utgör den i kapitel 3 beskrivna regulatorn, vilken kan vara av proportionell eller fasavancerande typ.

BOX 4 är den i kapitel 3 beskrivna Otto-Smith-regulatorn.

BOX 12 genererar stör signaler som kan adderas till den "mätta" signalen ACT (manövercylindrarnas läge).

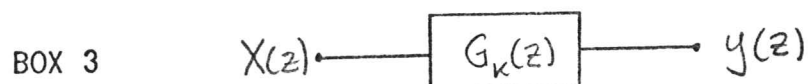
BOX 13 är en flödesbegränsare, vilken definerar manövercylindrarnas maximala hastighet.

BOX 14 simulerar de mekaniska stoppen för manövercylindrarna.

Subrutinen PRINT trycker ut resultatet från servoberäkningarna.

Vid varje anrop av en BOX lagras in- och utsignaler i speciella fält FO, FIO eller FRO beroende på vilket gradtal överföringsfunktionen har. Efter varje genomförd servoberäkning skiftas signalerna ett steg av subrutinen ROTATE, så att signalerna ligger rätt i tiden då nästa beräkningsvarv startar.

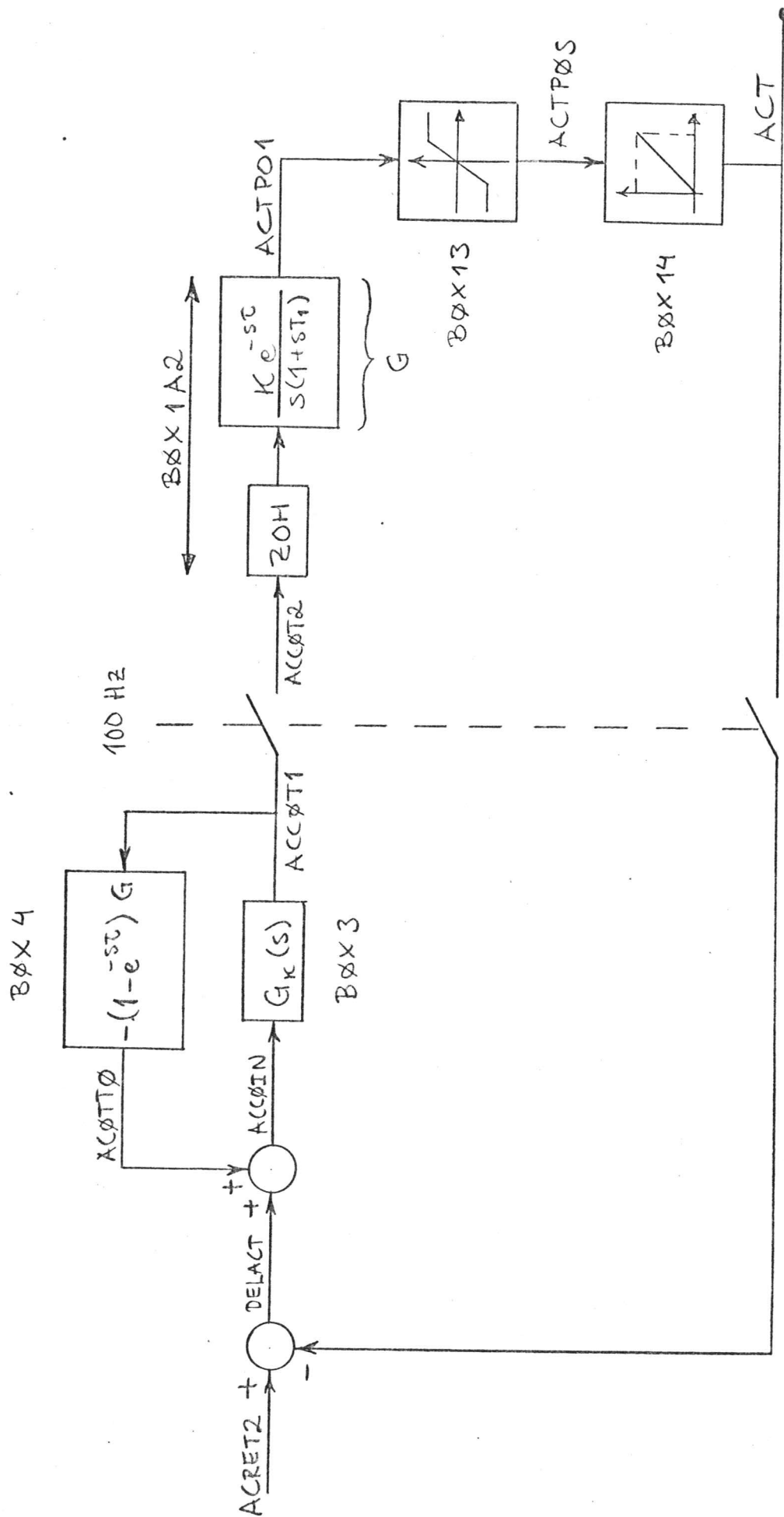
Varje BOX:s överföringsfunktion är given på följande form.



$$y(z) \doteq G_K(z) \cdot X(z) = \frac{b_0 + b_1 z^{-1} + b_2 z^{-2} + b_3 z^{-3} + b_4 z^{-4}}{1 + a_1 z^{-1} + a_2 z^{-2} + a_3 z^{-3} + a_4 z^{-4}}$$

I tidplanet

$$\begin{aligned} y(t) = & b_0 x(t) + b_1 x(t-T) + b_2 x(t-2T) + b_3 x(t-3T) + \\ & + b_4 x(t-4T) - a_1 y(t-T) - a_2 y(t-2T) - a_3 y(t-3T) - \\ & - a_4 y(t-4T) \end{aligned}$$



Figur B1-1

```
TTEXT,TA186A,COMMON/  
DATE: 75.12.10 INPUT MEDIUM: CARD  
0 COMMON / FOC/ FO(200,6)  
10 COMMON / FRO/ FRO(50,10)  
20 COMMON / FIO/ FIO(50,12)  
30 COMMON / VARS/ DELACT,ACCOIN,ACOTTO,ACCOT1,ACCOT2,ACTP01,ACTPOS,  
40 1ACT,ACTDIS,ACTRES,XBOR,TIME,AMPACT  
50 COMMON / PRUCON/ DT,ISS,IBAL,ICCON,IRFSET,IUPDAT  
60 COMMON / ARKS/ A12(5),B12(5),A3(5),B3(5),A4(6),B4(6),SPROF(100),  
70 1TEXT(12)  
80 COMMON / IVARs/ NX
```



TTEXT.TA186A.DEL1/  
DATE: 75.12.10 INPUT MEDIUM: CARD

1 C  
10 C MAIN  
20 PROGRAM MAIN(CRO=5,LPO=6)  
30 C DEL UR ERK-REGLERING TILL DYNAMISK SIMULATOR  
40 C

50 C	THOC OUTPUT	FROC OUTPUT	FIOC OUTPUT
60 C		+0 - ACTP01	+0 - ACOTTO
70 C		+1 - ACCOT1	+1
80 C		+2 -	+2
90 C		+3	+3
100 C		+4	
110 C		+5	
120 C		+6	
130 C		+7	
140 C		+8	
150 C		+9	
160 C		+10	
170 C		+11	
180 C		+12	

200 C FOC OUTPUT  
210 C +37-ACTPOS  
220 C

230 INTEGER IFEL  
240 REAL BOX3,BOX4,BOX1A2,BOX12,BOX13,BOX14  
250 DIMENSION DAT(10)  
260 DATA FLOWL/11.8/,PISTL/5.78/,ICFRO/1/,ICFIO/1/,ICFO/1/  
270 \*COPY COMMON  
280 READ(5,520) (TEXT(I),I=1,12)  
290 WHILE (.NOT. EOF(5)) DO  
300 READ(5,510) AMPACT  
310 READ(5,510) (A12(I),I=1,5)  
320 READ(5,510) (B12(I),I=1,5)  
330 READ(5,510) (A3(I),I=1,5)  
340 READ(5,510) (B3(I),I=1,5)  
350 READ(5,510) (A4(I),I=1,6)  
360 READ(5,510) (B4(I),I=1,6)

```

370 READ(5,520) SPROF(1)
380 READ(5,510) SPROF(2)
390 READ(5,510) SPROF(3)
400 NX = IFIX( SPROF(3) )
410 SPROF(4) = 0.0
420 NT = NX+NX
430 DO 10 I=1,NT
440 READ(5,510) SPROF(I+4)
450 CONTINUE
460 CALL INITS
470 CALL HEADIN
480 ITERATE UNTIL( TIME.GT. SPROF(NX+4)+1.0E-6)
490 CALL UNBAR( SPROF,1,TIME,0.0,XBOR,IFEL)
550 ACTP01 = BOX1A2( ICFRO , ACCOT2,A12,B12)
560 ACTPOS = BOX13( ICF0+37,ACTP01,FLOWL)
570 ACT = BOX14(0,ACTPOS,PISTL)
580 ACTDIS = BOX12(0,AMPACT)
590 ACTRES = ACT+ACTDIS
591 DELACT = XBOR-ACTRES
592 ACCOT0 = BOX4( ICFIO , ACCOT1,A4,B4)
593 ACCOIN = DELACT+ACCOT0
594 ACCO11 = BOX3( ICFRO+1,ACCOIN,A3,B3)
595 FIO( ICFIO,1) = ACCO11
596 FRO( ICFRO,1) = ACCO11
597 ACCO12 = ACCO11
600 CALL PRINT
610 CALL ROTATE( ICFRO+1,10,FRO,50)
620 CALL ROTATE( ICFIO,12,FIO,50)
630 CALL ROTATE( ICFRO,10,FRO,50)
640 FO( ICF0+37,5) = ACTPOS
650 TIME = TIME+DT
660 ENDITER
670 READ(5,520) (TEXT(I),I=1,12)
680 ENDDO
690 CALL TERMIN
700 FORMAT(8F10.0)
710 FORMAT(12A6)
720 END
730 C
740 C
750 C

```

10

510 C  
520 C  
730 C  
740 C  
750 C

```

760 FUNCTION BOX1A2(IND,X,A,B)
770 DIMENSION A(5),B(5)
780 *COPY COMMON
790 C
800 C IF(ISS.EQ.U) THEN "TRANSIENT" ELSE "STEADY-STATE"
810 C
820 IF(ISS.EQ.U) THEN
830 Y = (B(1)*X+B(2)*FRO(IND,2)+B(3)*FRO(IND,3)+B(4)*FRO(IND,4)+
840 B(5)*FRO(IND,5)-A(2)*FRO(IND,7)-A(3)*FRO(IND,8)-A(4)*FRO(IND,9)
850 -A(5)*FRO(IND,10))/A(1)
860 IF(ABS(Y).LT.1.0E-10) Y= 0.0
870 FRO(IND,1) = X
880 FRO(IND,6) = Y
890 ELSE
900 Y = X
910 IF (ABS(Y).LT.1.0E-10) Y = 0.0
920 DO 10 I=1,10
930 FRO(IND,I) = Y
940 10 CONTINUE
950 ENDIF
960 BOX1A2 = Y
970 RETURN
980 END
990 C
1000 C
1010 C
1020 FUNCTION BOX3(IND,X,A,B)
1030 DIMENSION A(5),B(5)
1040 *COPY COMMON
1050 IF(ISS.EQ.U) THEN
1060 Y = (B(1)*X+B(2)*FRO(IND,2)+B(3)*FRO(IND,3)+B(4)*FRO(IND,4)+
1070 B(5)*FRO(IND,5)-A(2)*FRO(IND,7)-A(3)*FRO(IND,8)-A(4)*FRO(IND,9)
1080 -A(5)*FRO(IND,10))/A(1)
1090 IF(ABS(Y).LT.1.0E-10) Y = 0.0
1100 FRO(IND,1) = X
1110 FRO(IND,6) = Y
1120 ELSE
1130 Y = X
1140 IF(ABS(Y).LT.1.0E-10) Y = 0.0
1150 DO 10 I=1,10
1160 FRO(IND,I) = Y

```

```

1170 10 CONTINUE
1180 ENDIF
1190 BOX3 = Y
1200 RETURN
1210 END
1220 C
1230 C
1240 C
1250 FUNCTION BOX4(IND,X,A,B)
1260 DIMENSION A(9),B(6)
1270 *COPY COMMON
1280 IF(ISS.EQ.U) THEN
1290 Y = (-A(2)*FIO(IND,8)-A(3)*FIO(IND,9)-A(4)*FIO(IND,10)-
1300 1 A(5)*FIO(IND,11)-A(6)*FIO(IND,12)+B(1)*X+
1310 2 B(2)*FIO(IND,2)+B(3)*FIO(IND,3)+B(4)*FIO(IND,4)+B(5)*FIO(IND,5)
1320 3 +B(6)*FIO(IND,6))/A(1)
1330 IF(ABS(Y).LT.1.0E-10) Y = 0.0
1340 FIO(IND,1) = X
1350 FIO(IND,7) = Y
1360 ELSE
1370 Y = X
1380 IF(ABS(Y).LT.1.0E-10) Y = 0.0
1390 DO 10 I=1,12
1400 FIO(IND,I) = Y
1410 10 CONTINUE
1420 ENDIF
1430 BOX4= Y
1440 RETURN
1450 END
1460 C
1470 C
1480 C
1490 FUNCTION BOX12(IND,AMP)
1500 *COPY COMMON
1510 REAL RANDOM
1520 SLUMP = RANDOM(0.0,3.14159265/DT)
1530 BOX12 = AMP*SIN(SLUMP*DT)
1540 RETURN
1550 END
1560 C
1570 C

```

```

1580 C
1590 FUNCTION BOX13(IND,Y,XLIM)
1600 COMMON
1610 YF = FO(IND,5)
1620 YN = Y
1630 IF(ABS((Y-YF)/DT).GT.XLIM) THEN
1640 YN = YF+SIGN(1.0,Y-YF)*XLIM*DT
1650 ENDIF
1660 IF(ABS(YN).LT.1.0E-10) YN = 0.0
1670 BOX13 = YN
1680 FO(IND,4) = YN
1690 RETURN
1700 END
1710 C
1720 C
1730 C
1740 FUNCTION BOX14(IND,X,XLIM)
1750 IF(X.GT.XLIM) THEN
1760 BOX14 = XLIM
1770 ELSE
1780 BOX14 = X
1790 ENDIF
1800 RETURN
1810 END
1820 C
1830 C
1840 C
1850 SUBROUTINE HEAIN
1860 *COPY COMMON
1870 DIMENSION XNAME(20),YV(50)
1880 DATA XNAME/6HAMPACT,6HA12 ,6HA3 ,6HA4 ,6HB12 ,6HB3 ,
1890 6HB4 ,6HSRPROF ,6HTIME ,6HXBOR ,6HACTRES,6HDELACT,
1900 6HACCOIN,6HACOTTO,6HACCOT1,6HACCOT2,6HACTPO1,6HACTPOS,
1910 6HACT ,6HACTDIS/
1920 CALL RUBRIK(6HTA186A,777)
1930 WRITE(6,6010) (TEXT(I),I=1,12)
1940 WRITE(6,6020)
1950 WRITE(6,6030) XNAME(1),AMPACT
1960 WRITE(6,6030) XNAME(2),A12
1970 WRITE(6,6030) XNAME(5),B12
1980 WRITE(6,6030) XNAME(3),A3

```

```

1990 WRITE(6,6030) XNAME(67,B3)
2000 WRITE(6,6030) XNAME(4),A4
2010 WRITE(6,6030) XNAME(7),B4
2020 WRITE(6,6040) XNAME(8),(SPROF(I),I=1,3)
2030 WRITE(6,6050) (SPROF(I+4),I=1,NX)
2040 DO 10 I=1,NX
2050   I1 = I+4+NX
2060   YV(I) = SPROF(I1)
2070 CONTINUE
2080 WRITE(6,6050) (YV(I),I=1,NX)
2090 WRITE(6,6060)
2100 WRITE(6,6070) (XNAME(I),I=9,20)
2110 FORMAT(1H0,12A6)
2120 FORMAT(1H0,6HINDATA)
2130 FORMAT(1H0,5X,A6,1H=,8(3X,F10,6))
2140 FORMAT(1H0,5X,A6,1H=,3X,A6,2(3X,I2))
2150 FORMAT(1H0,12X,8(3X,F10,6))
2160 FORMAT(1H0,8HRESULTAT)
2170 FORMAT(1H0,12(2X,A6,2X))
2180 RETURN
2190 END
2200 C
2210 C
2220 C
2230 SUBROUTINE INITS
2240 *COPY COMMON
2250 DT = 0.01
2260 TIME = 0.0
2261 ACCOT2 = 0.0
2271 ACCOT1 = 0.0
2280 ISS = 0
2290 DO 10 I=1,2
2300   DO 15 J=1,10
2310     FRO(I,J) = 0.0
2320     FIO(I,J) = 0.0
2330 CONTINUE
2340 FIO(I,11) = 0.0
2350 FIO(I,12) = 0.0
2360 CONTINUE
2370 DO 20 J=1,6
2380   FO(38,J) = 0.0
2381

```

```

2400 CONTINUE
2410 RETURN
2420 END
2430 C
2440 C
2450 C
2460 SUBROUTINE PRINT
2470 *COPY COMMON
2480 WRITE(6,6010) TIME,XBOR,ACTRES,DELACT,ACCOIN,ACOTTO,ACCOT1,ACCOT2,
2490 1ACTPO1,ACTPOS,ACT,ACTDIS
2500 6010 FOPMAT(1H,12F10.6)
2510 RETURN
2520 END
2530 C
2540 C
2550 C
2560 SUBROUTINE ROTATE(IND,NS,A,N)
2570 DIMENSION A(N,1)
2580 IL = NS/2-1
2590 DO 10 I=1,IL
2600 IS = IL+2-I
2610 A(IND,IS) = A(IND,IS-1)
2620 CONTINUE
2630 DO 20 I=1,IL
2640 IS = NS+1-I
2650 A(IND,IS) = A(IND,IS-1)
2660 CONTINUE
2670 RETURN
2680 END
2690 C
2700 C
2710 C
2720 SUBROUTINE TERMIN
2730 I = 0
2740 RETURN
2750 END

```

Indata till programmet

Indata till areaservoprogrammet består av fyra delar.

1. Rubrik
2. Störsignalens amplitud
3. a- och b-koefficienterna för BOX1A2, BOX3 och BOX4 (se bilaga 1)
4. Insignalen till servot

Nedan följer en beskrivning av punkterna 3 och 4 och till sist presenteras ett exempel på hur indata specificeras på hålkort för programmet.

De a- och b-koefficienterna som definieras i bilaga 1 har ett något annorlunda beteckningssätt i programmet. Så benämnes exempelvis  $a_i$ -koefficienterna för BOX1A2 A12 (i) och  $b_i$ -koefficienterna för BOX3 B3 (i).

BOX1A2

$$\text{Laplacetransform} \quad \frac{1 - e^{-sT}}{s} \cdot \frac{K}{s(1+sT_1)} \cdot e^{-s}$$

$$z\text{-transformen} \quad z^{-2} \frac{K\alpha(z+\gamma)}{(z-1)(z-\beta)} = \frac{K\alpha z^{-3} + K\alpha\gamma z^{-4}}{1-(1+\beta)z^{-1} + \beta z^{-2}}$$

$$B12(1) = B12(2) = B12(3) = 0.0$$

$$B12(4) = K\alpha = 0.162$$

$$B12(5) = K\alpha\gamma = 0.130$$

$$A12(1) = 1.0$$

$$A12(2) = -1.513$$

$$A12(3) = 0.513$$

$$A12(4) = A12(5) = 0$$



BOX3Proportionell kompensering

$$G_K(z) = 0.25$$

$$B3(1) = 0.25$$

$$B3(2) = B3(3) = B3(4) = B3(5) = 0.0$$

$$A3(1) = 1.0$$

$$A3(2) = A3(3) = A3(4) = A3(5) = 0.0$$

Fasavancerande kompensering

$$G_K(z) = \frac{1.235 - 0.633 z^{-1}}{1 + 0.802 z^{-1}} \quad (\text{nominellt filter})$$

$$B3(1) = 1.235$$

$$B3(2) = -0.633$$

$$B3(3) = B3(4) = B3(5) = 0.0$$

$$A3(1) = 1.0$$

$$A3(2) = 0.802$$

$$A3(3) = A3(4) = A3(5) = 0.0$$

Uppsnabbat system

$$G_K(z) = \frac{2.037 - 1.045 z^{-1}}{1 + 0.802 z^{-1}}$$

Regulator till "feedback control" enligt kap 3.3

BOX4 blockeras dvs  $B4(i) = 0$ ,  $A4(1) = 1$ ,  $A4(i) = 0$  ( $i \neq 1$ )

$$G_K(z) = \frac{0.2501 - 0.1275 z^{-1}}{1 - 0.487 z^{-1} + 0.0722 z^{-2} + 0.0323 z^{-3}}$$

$$B3(1) = 0.2501$$

$$B3(2) = -0.1275$$

$$B3(3) = B3(4) = B3(5) = 0.0$$

$$A_3 (1) = 1.0$$

$$A_3 (2) = -0.487$$

$$A_3 (3) = 0.0722$$

$$A_3 (4) = 0.0323$$

$$A_3 (5) = 0.0$$

Dead-beat regulator anpassat för steg

BOX4 blockeras.

$$G_K (z) = \frac{6.173 - 3.167 z^{-1}}{1 + 1.801 z^{-1} + 1.801 z^{-2} + 0.801 z^{-3}}$$

$$B_3 (1) = 6.173$$

$$B_3 (2) = -3.167$$

$$B_3 (3) = B_3 (4) = B_3 (5) = 0.0$$

$$A_3 (1) = 1.0$$

$$A_3 (2) = 1.801$$

$$A_3 (3) = 1.801$$

$$A_3 (4) = 0.801$$

$$A_3 (5) = 0.0$$

Dead-beat regulator anpassad för ramp

BOX4 blockeras.

$$G_K (z) = \frac{12.346 - 12.506z^{-1} + 3.167 z^{-2}}{1 + 1.801 z^{-1} + 1.801 z^{-2} - 0.199 z^{-3} - 0.801 z^{-4}}$$

$$B_3 (1) = 12.346$$

$$B_3 (2) = -12.506$$

$$B_3 (3) = 1.167$$

$$B_3 (4) = B_3 (5) = 0.0$$

$$A3 (1) = 1.0$$

$$A3 (2) = 1.801$$

$$A3 (3) = 1.801$$

$$A3 (4) = -0.199$$

$$A3 (5) = -0.801$$

#### BOX4

Laplacetransform  $- (1 - e^{-s}) G(s)$

$$z\text{-transform} \quad - (1 - z^{-2}) \cdot \frac{K\alpha (z + \gamma)}{(z-1)(z-\beta)} =$$

$$\frac{-K\alpha z^{-1} - K\alpha (1 + \gamma) z^{-2} - K\alpha \gamma z^{-3}}{1 - \beta z^{-1}}$$

$$B4 (1) = 0$$

$$B4 (2) = -K\alpha = -0.162$$

$$B4 (3) = -K\alpha (1 + \gamma) = -0.292$$

$$B4 (4) = -K\alpha \gamma = -0.130$$

$$B4 (5) = B4 (6) = 0$$

$$A4 (1) = 1.0$$

$$A4 (2) = -\beta = -0.513$$

$$A4 (3) = A4 (4) = A4 (5) = A4 (6) = 0$$

#### Specifikation av insignal

Insignalens utseende kan definieras fritt genom att välja brytpunkter i tiden med tillhörande värden på signalen. Interpolationsgrad samt antalet brytpunkter skall också anges.

Nedan följer ett exempel på hur indata specificeras på hålkort vid en körning av areaservoprogrammet.





VOLVO FLYGMOTOR TROLLHÄTTAN KLOCKAN 16,16,41  
 TA186A KÖRD I D23 ONSDAG 1976-01-28

FASAVANCRANDE KOMPENSERING+OTTO-SMITH REGULATOR, RAMPSVAR

INDATA

AMPACT= 0,000000  
 A12 = 1,000000 -1,513000 0,513000 0,000000 0,000000  
 B12 = 0,000000 0,000000 0,000000 0,162000 0,130000  
 A3 = 1,000000 0,797000 0,000000 0,000000 0,000000  
 B3 = 3,086000 -1,290000 0,000000 0,000000 0,000000  
 A4 = 1,000000 -0,513000 0,000000 0,000000 0,000000  
 B4 = 0,000000 -0,162000 -0,292000 -0,130000 0,000000

SPROF = RAMP 1 2  
 0,000000 0,350000  
 0,000000 0,350000

RESULTAT

TIME	XBOR	ACTRES	DELACT	ACCOIN	ACOTTO	ACCOT1	ACCOT2	ACTPO1	ACTPOS	ACT
0,000000	0,000000	0,000000	0,000000	0,000000	0,000000	0,000000	0,000000	0,000000	0,000000	0,000000
0,010000	0,010000	0,000000	0,010000	0,010000	0,000000	0,030860	0,030860	0,000000	0,000000	0,000000
0,020000	0,020000	0,000000	0,020000	0,015001	-0,004999	0,008797	0,008797	0,000000	0,000000	0,000000
0,030000	0,030000	0,000000	0,030000	0,016999	-0,013001	0,026098	0,026098	0,000000	0,000000	0,000000
0,040000	0,040000	0,004999	0,035001	0,017523	-0,017478	0,011347	0,011347	0,004999	0,004999	0,004999
0,050000	0,050000	0,013001	0,036999	0,017431	-0,019568	0,022143	0,022143	0,013001	0,013001	0,013001
0,060000	0,060000	0,022477	0,037523	0,017191	-0,020332	0,012918	0,012918	0,022477	0,022477	0,022477
0,070000	0,070000	0,032569	0,037431	0,016967	-0,020464	0,019887	0,019887	0,032569	0,032569	0,032569
0,080000	0,080000	0,042809	0,037191	0,016821	-0,020370	0,014171	0,014171	0,042809	0,042809	0,042809
0,090000	0,090000	0,053033	0,036967	0,016735	-0,020232	0,018650	0,018650	0,053033	0,053033	0,053033
0,100000	0,100000	0,063179	0,036821	0,016677	-0,020124	0,015075	0,015075	0,063179	0,063179	0,063179
0,110000	0,110000	0,073265	0,036735	0,016681	-0,020054	0,017923	0,017923	0,073265	0,073265	0,073265
0,120000	0,120000	0,083303	0,036697	0,016679	-0,020018	0,015669	0,015669	0,083303	0,083303	0,083303

